

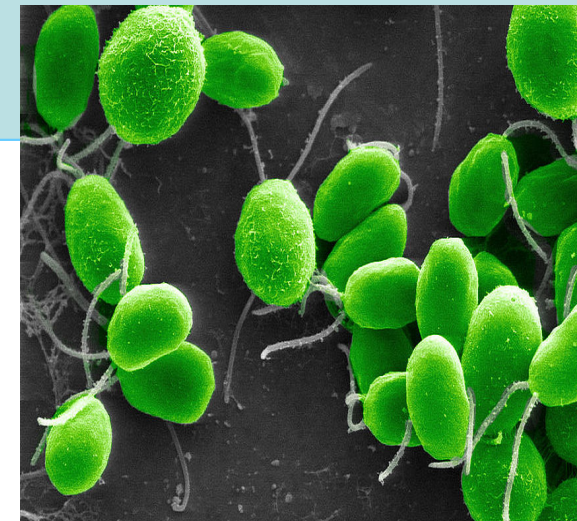
Математические модели переноса электронов в процессах фотосинтеза



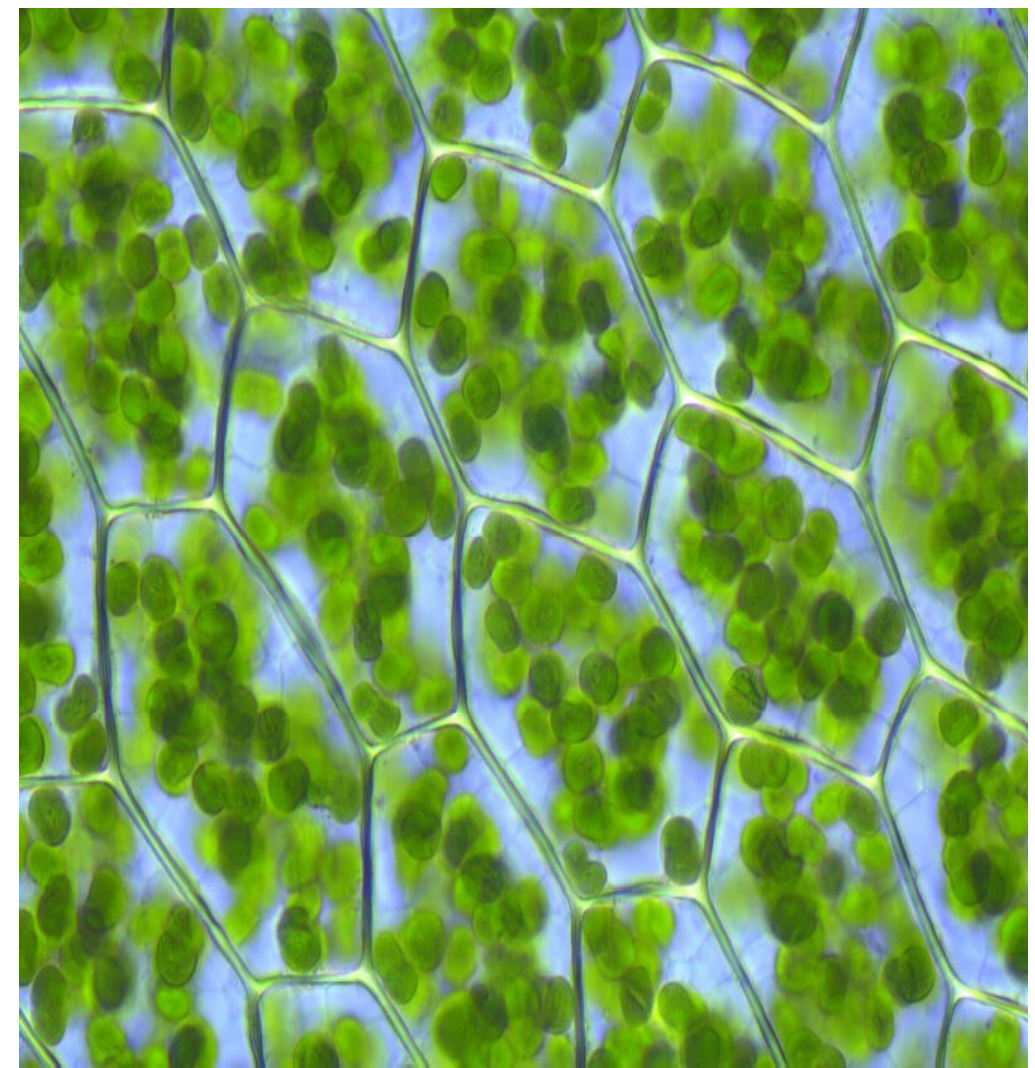
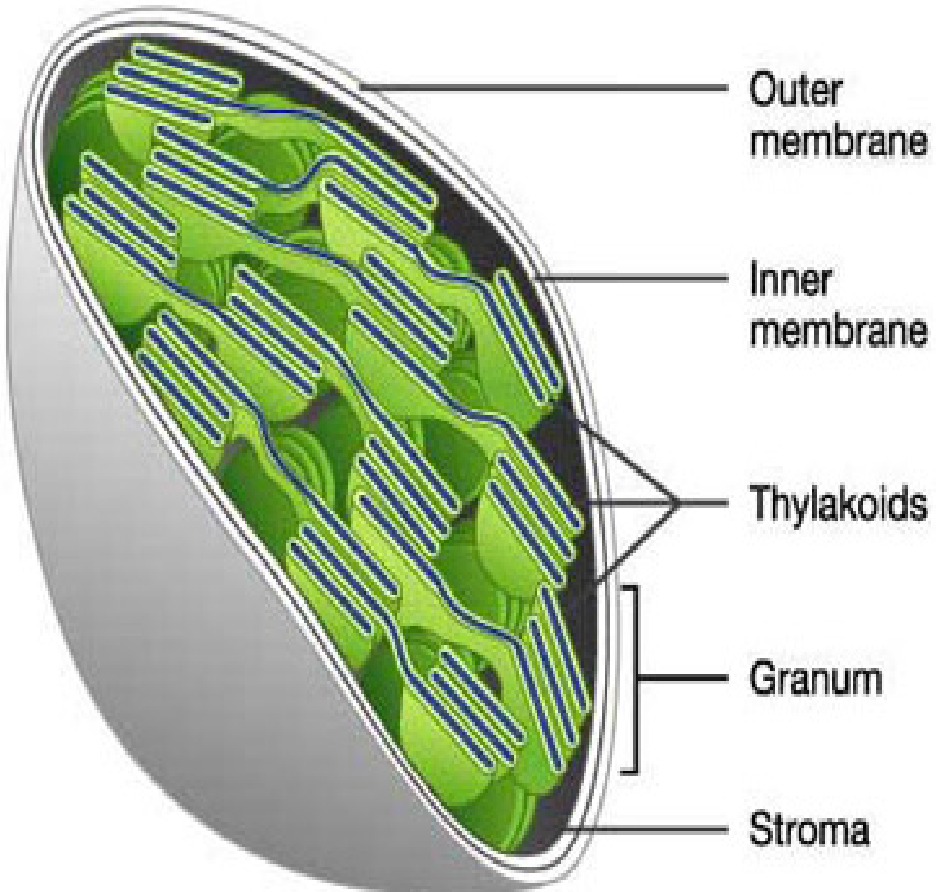
Галина Юрьевна Ризниченко
Кафедра биофизики

биологического ф-та МГУ имени
М.В.Ломоносова +7(095)9390289;
riznich@biophys.msu.ru

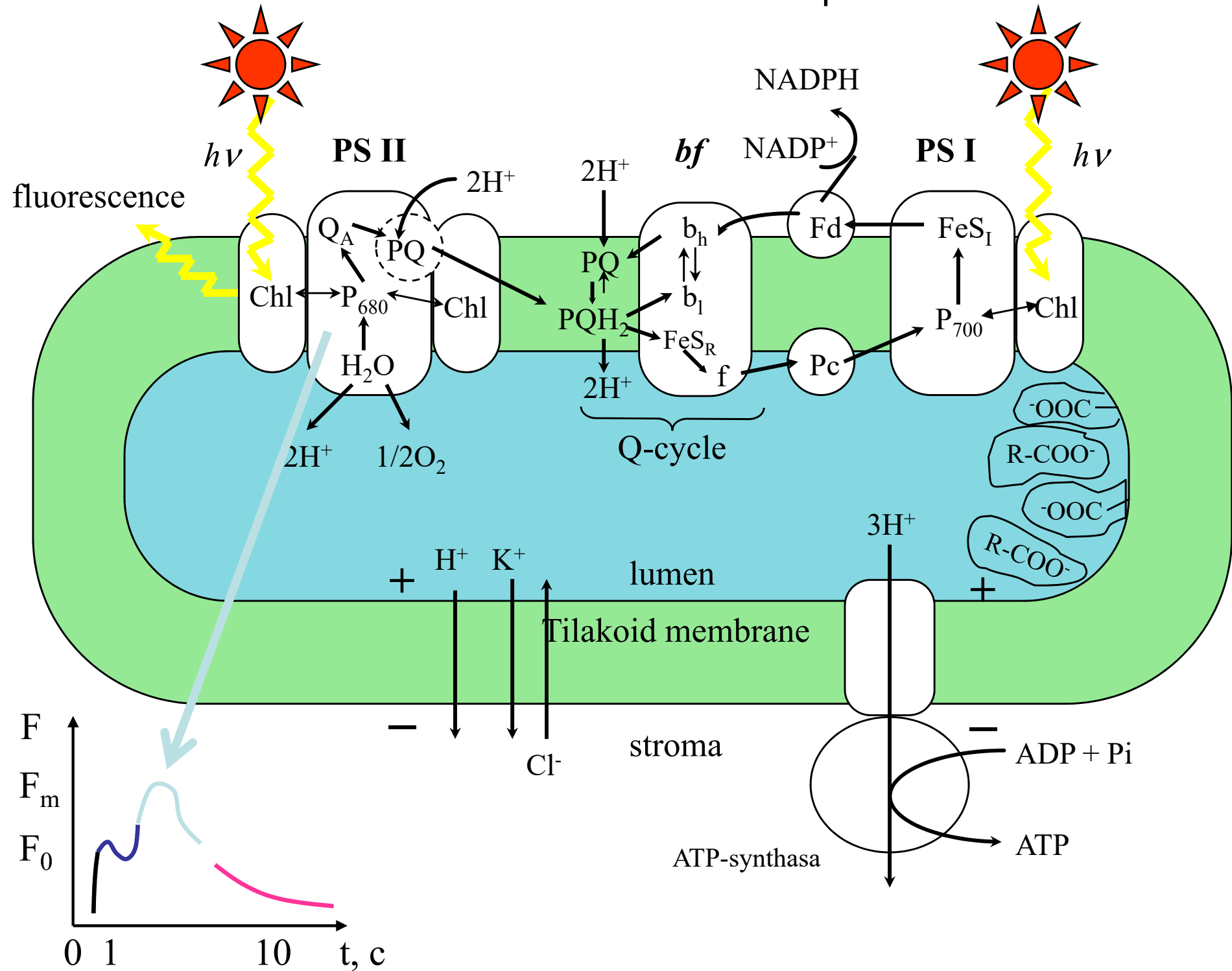
Нижний Новгород 11 ноября 2022

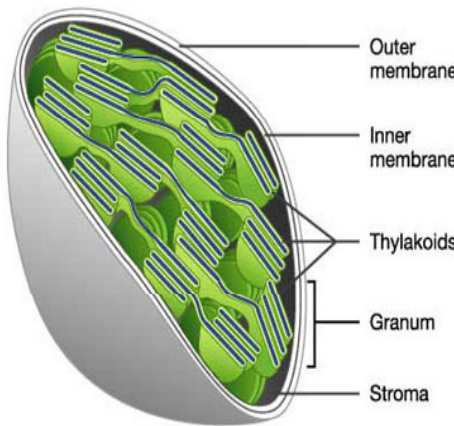


Хлоропласт.

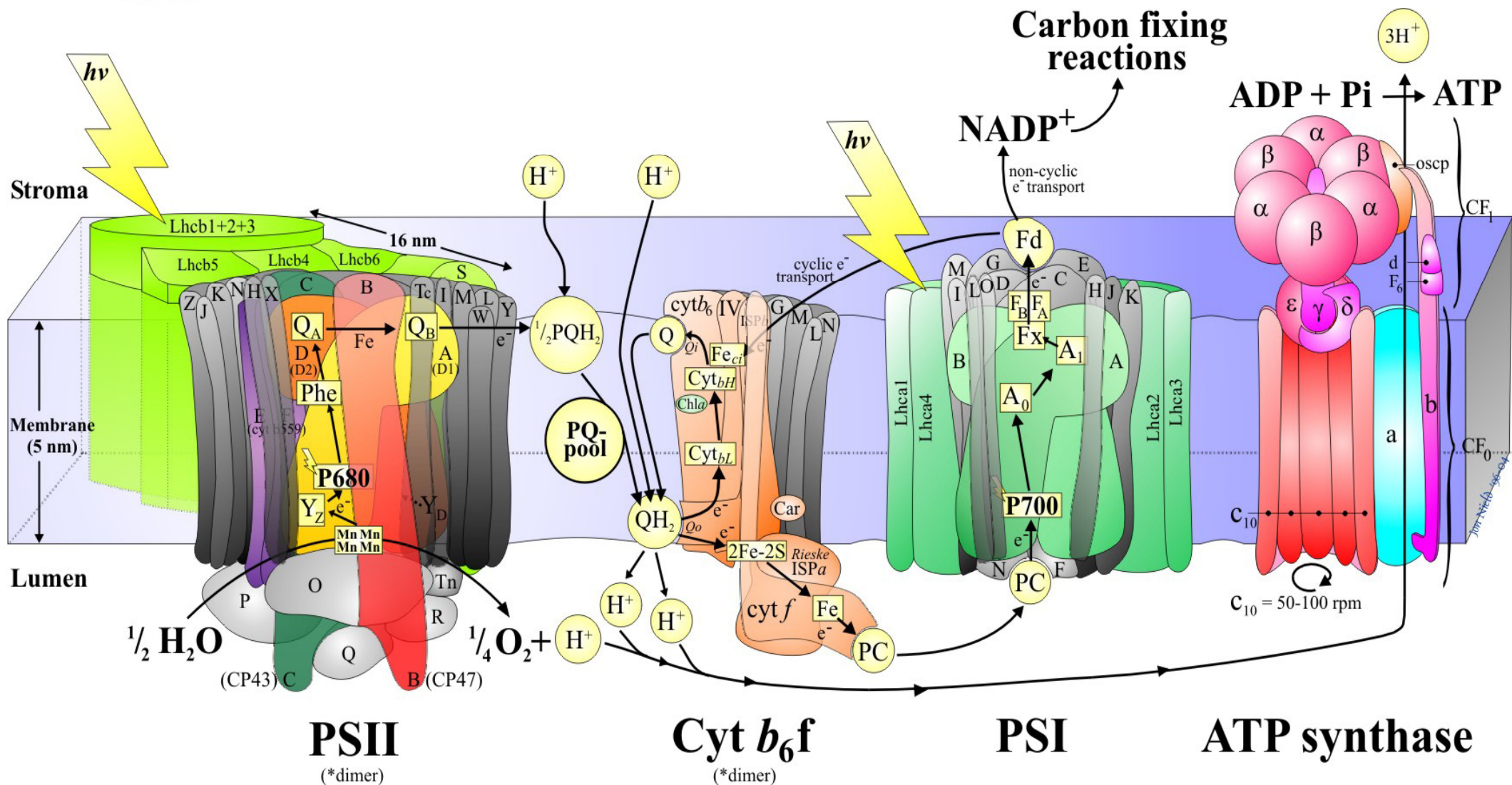


Фотосинтетическая мембрана





Мультиферментные комплексы в фотосинтетической мембране



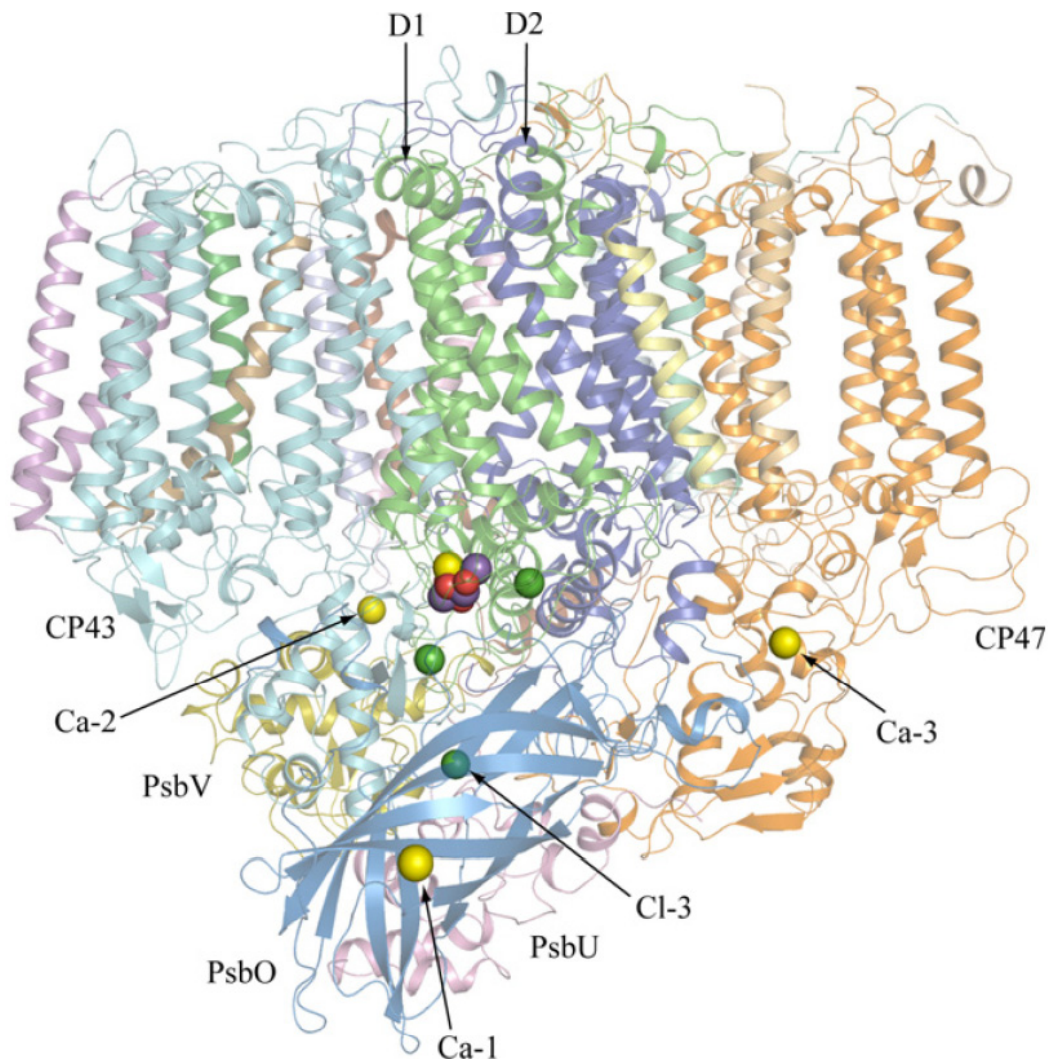
Кинетические модели

Понятие концентрации
Закон действующих масс

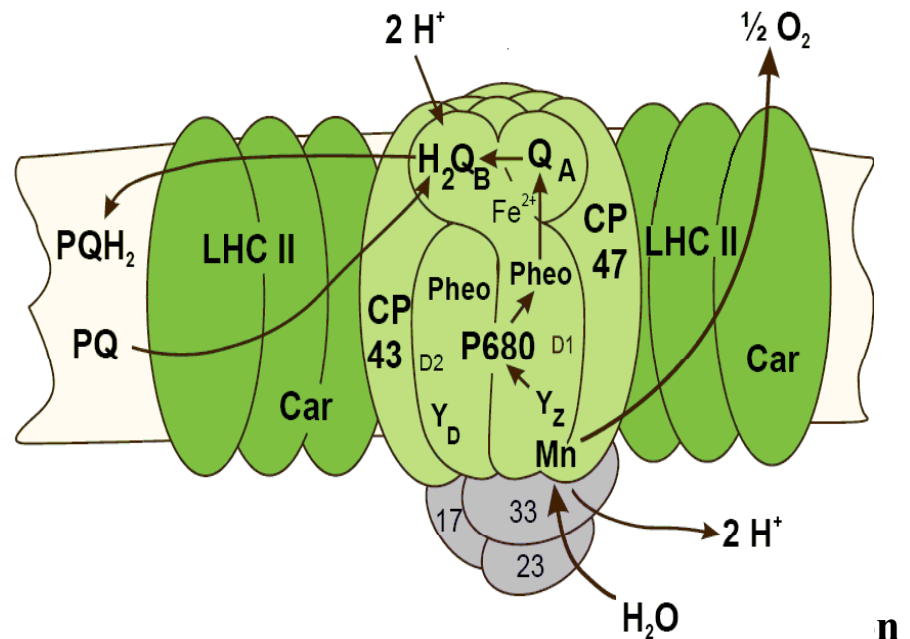
ДИФФЕРЕНЦИАЛЬНЫЕ УРАВНЕНИЯ

ПЕРЕМЕННЫЕ: ВЕРОЯТНОСТИ
СОСТОЯНИЙ МУЛЬТИФЕРМЕНТНЫХ
КОМПЛЕКСОВ И КОНЦЕНТРАЦИИ
ПОДВИЖНЫХ ПЕРЕНОСЧИКОВ

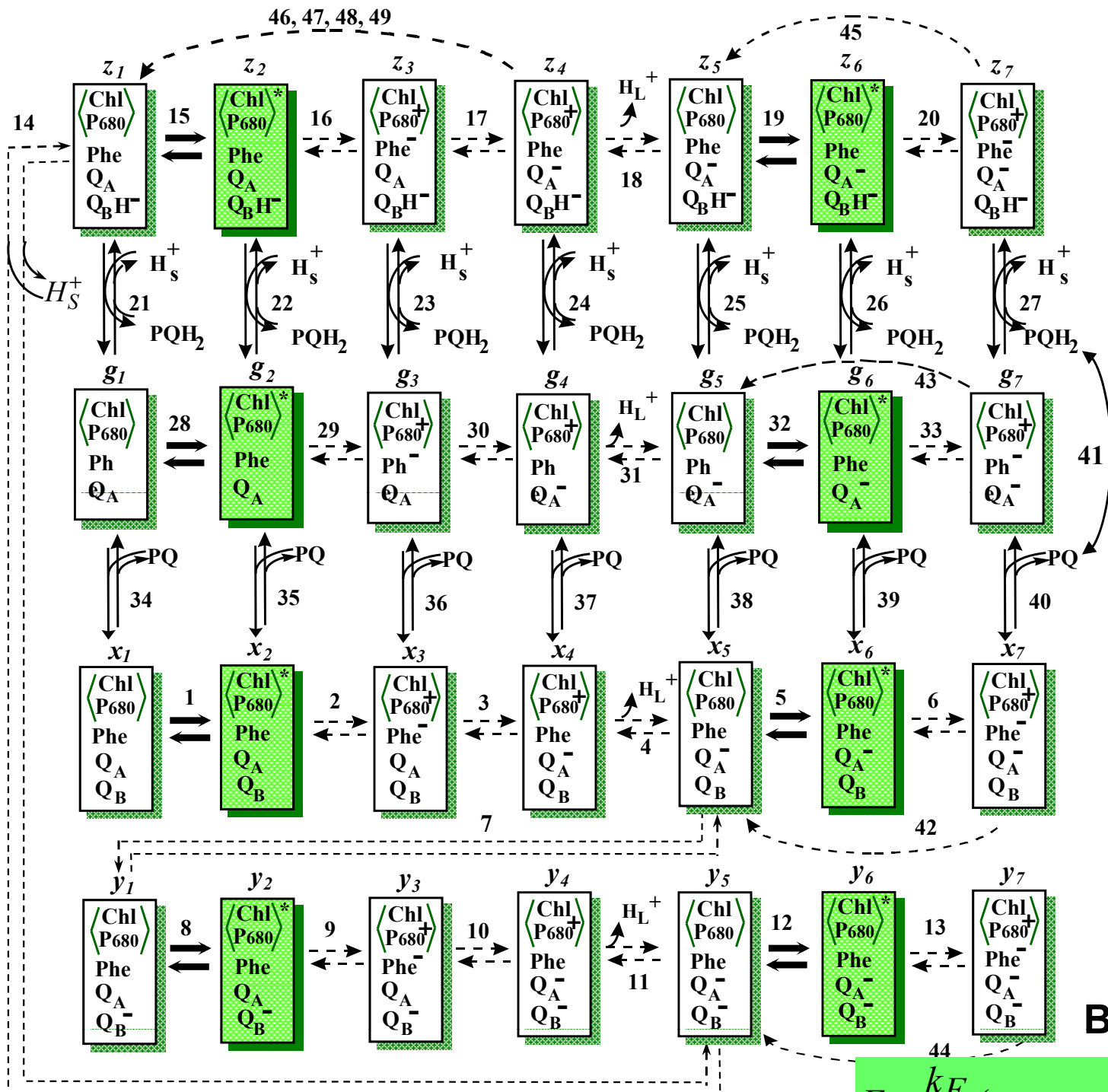
Фотосистема 2 – источник флуоресценции



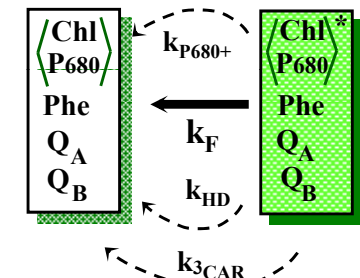
Kawakami K, Umena Y, Kamiya N, Shen J-R.
Structure of the catalytic, inorganic core of oxygen-
evolving photosystem II at 1.9 Å resolution.
J Photochem Photobiol B: Biology 104 (2011) 9–18



**Chl, PSII chlorophyll, P680
- photoactive pigments;
Phe, pheophytin; Q_A and
Q_B, primary and
secondary quinone
acceptors; PQ,
plastoquinone; PQH₂,
plastoquinol;
H_L⁺ and H_s⁺ protons in
lumen and stroma,**



СОСТОЯНИЯ

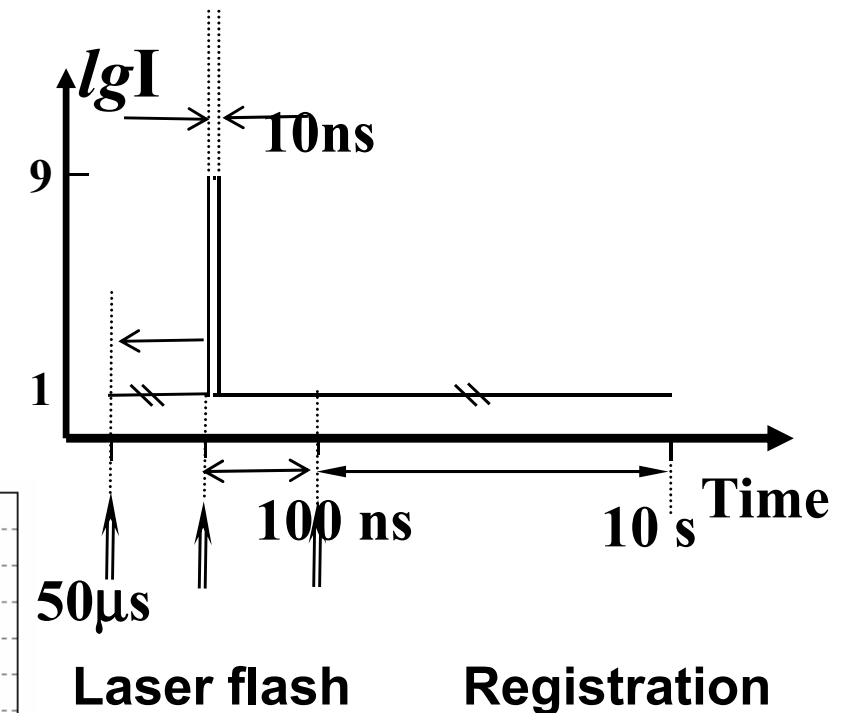
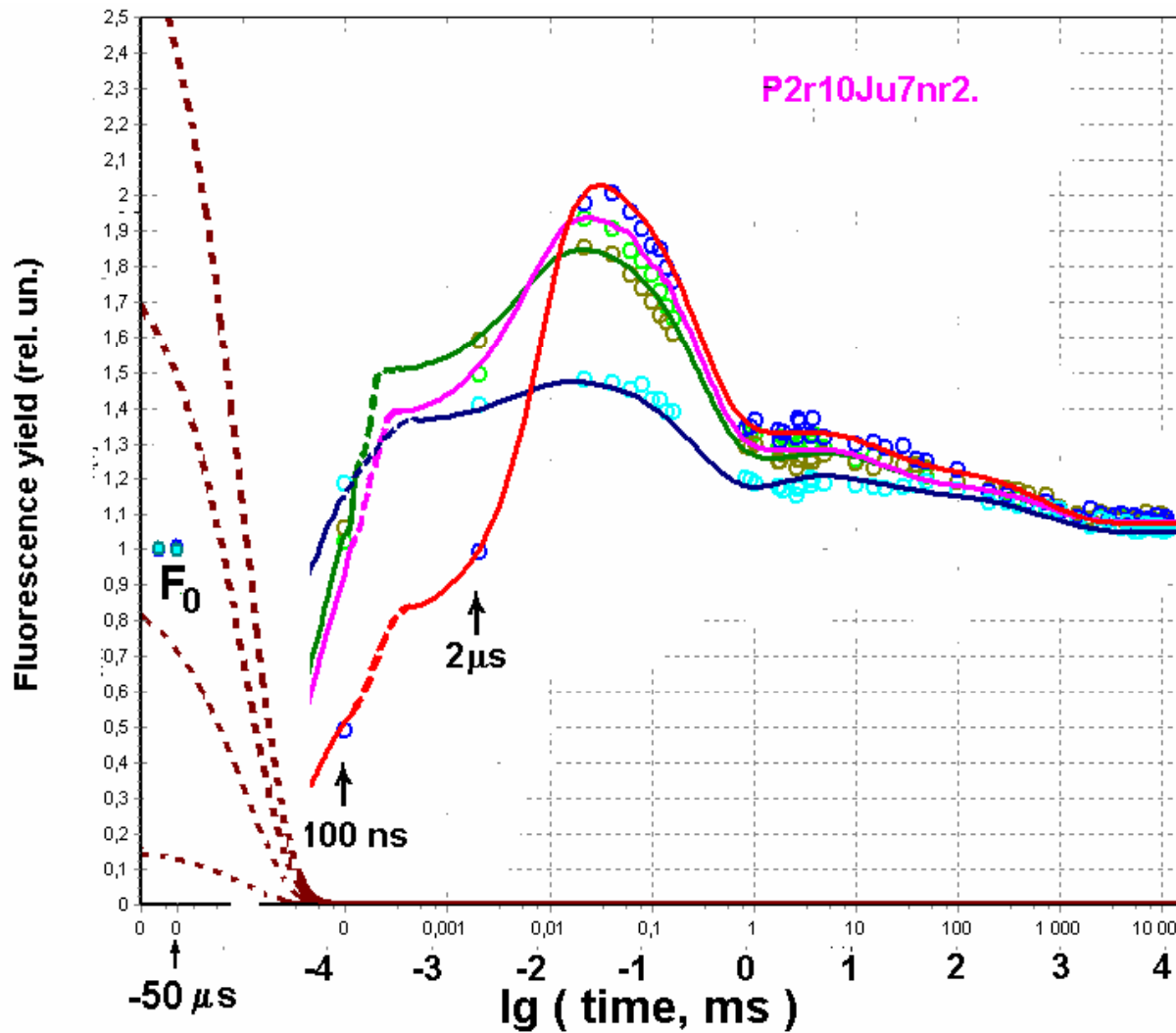


Процессы диссипации энергии

Выход флуоресценции

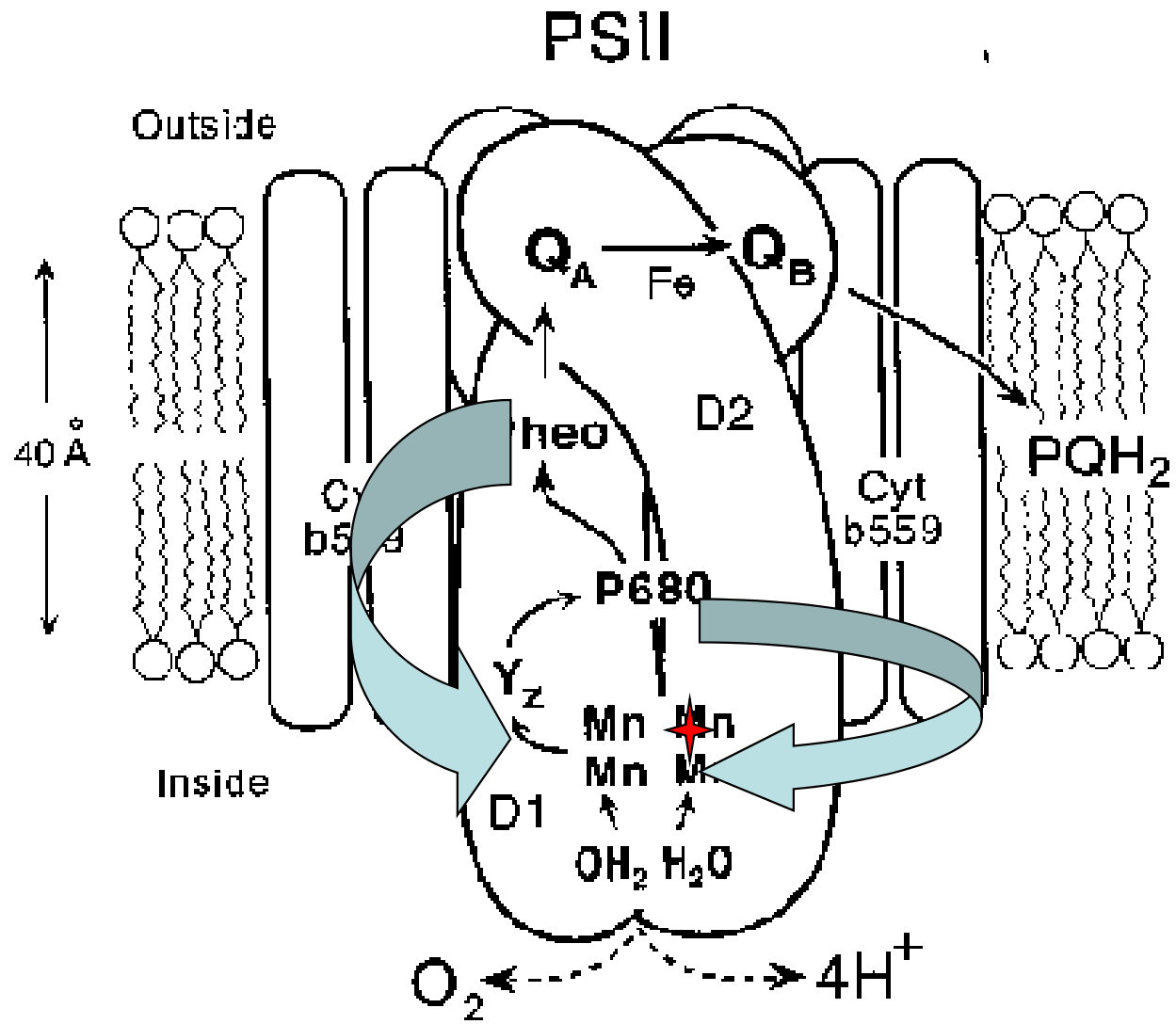
$$F = \frac{k_F}{k_L} (x_2 + y_2 + z_2 + g_2 + x_6 + y_6 + z_6 + g_6)$$

Experiment (dots, lab. Prof. G.Renger, Berlin) and simulation (solid lines). Fluorescence induction curves after the saturating 10 ns laser flash (different intensities), cells of thermophilic *Chlorella pyrenoidosa* Chick.



Scheme of experiment

Beljaeva, Renger et al.,
2011, 2014, 2015
Photosyn. Res.

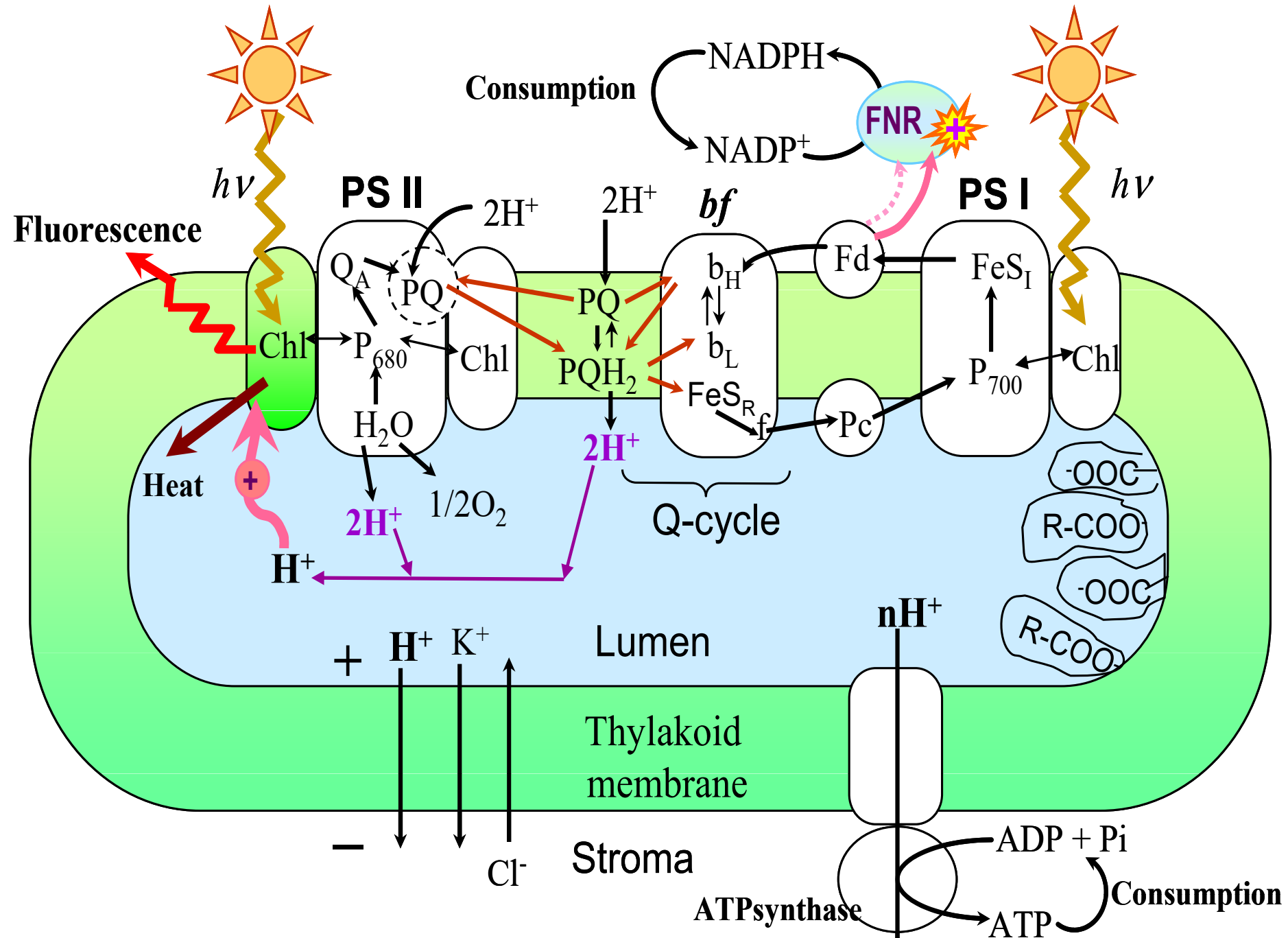


(2008) PSII model-based simulations of single turnover flash-induced transients of fluorescence yield monitored within the time domain of 100ns-10 s on dark-adapted Chlorella pyrenoidosa cells. Photosyn Res 98:105-119.

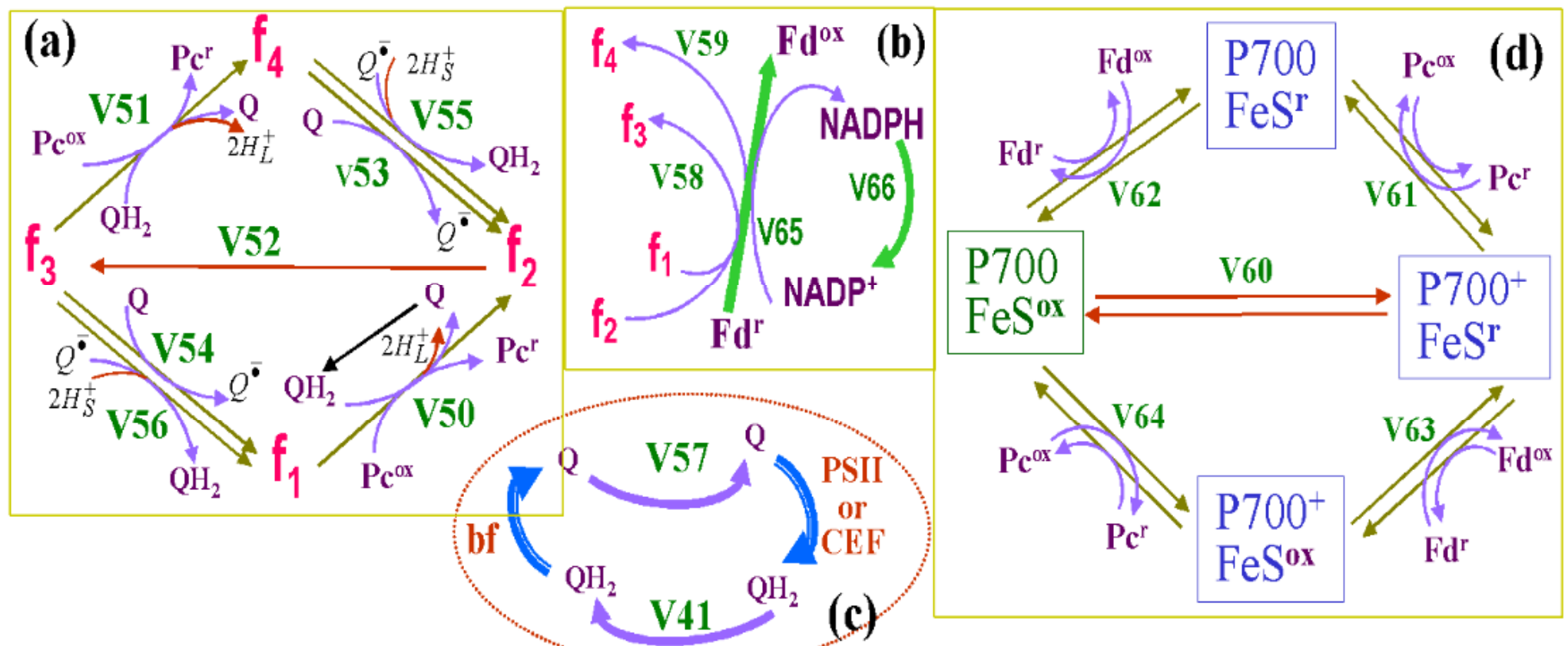
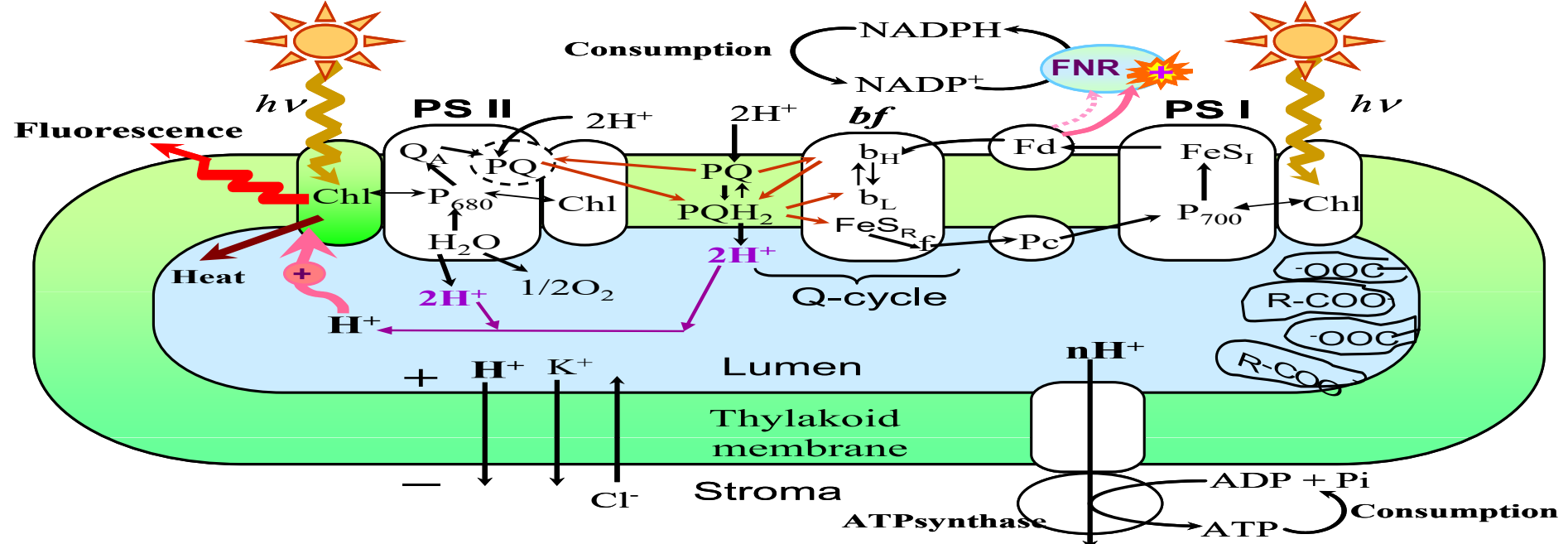
(2011) PS II model based analysis of transient fluorescence yield measured on whole leaves of *Arabidopsis thaliana* after excitation with light flashes of different energies. BioSystems 103(2):188-195

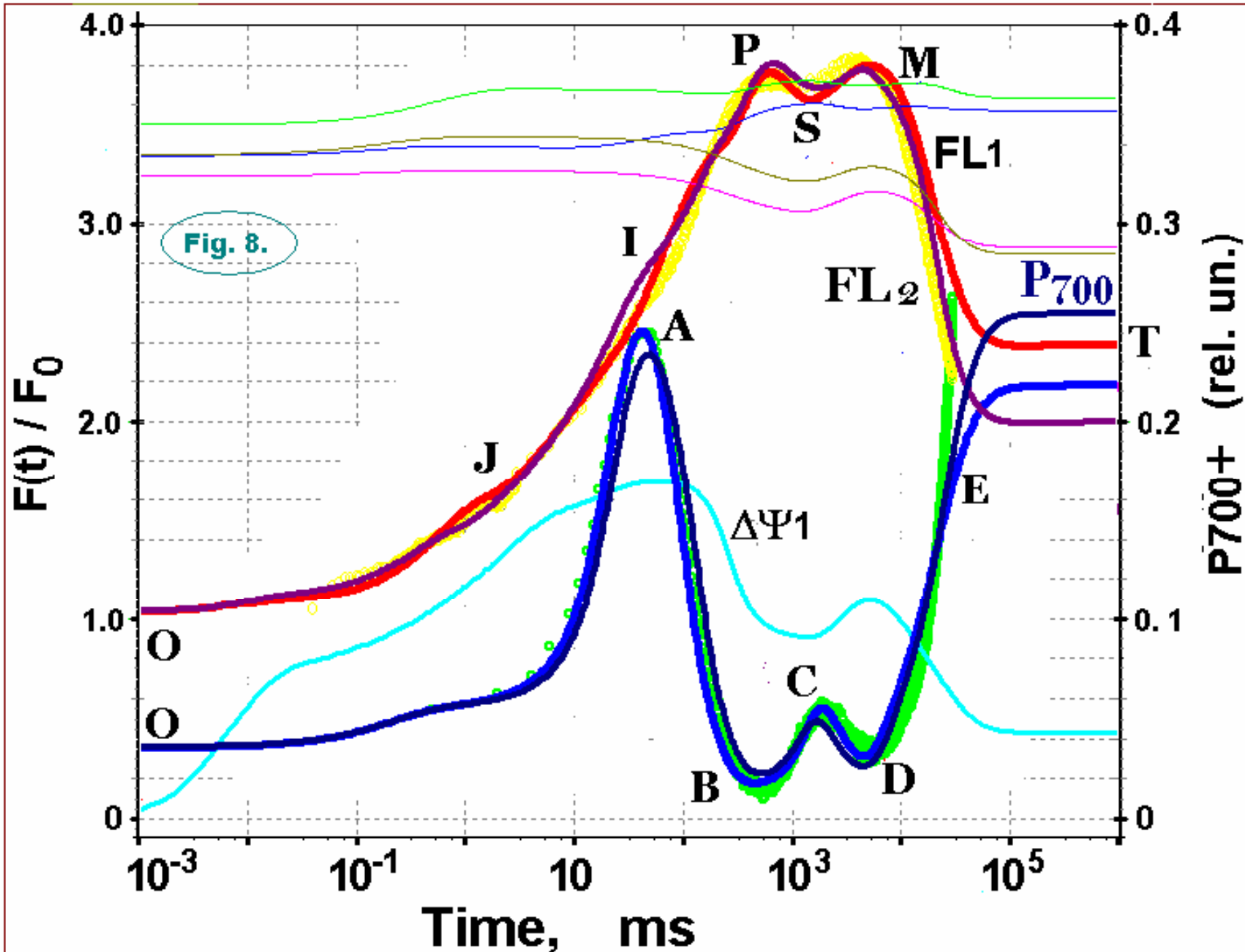
Процессы безызлучательной релаксации

В зависимости от интенсивности света потери в тепла могут составлять от 3 до 30 %



Belyaeva, Bulychev, Riznichenko, Rubin, 2016; 2019, 2021 Photosyn.
Research. Биофизика, 2022





Экспериментальные и модельные кривые индукции флуоресценции и редокс превращений P700 – фотоактивного пигмента Фотосистемы I на временах до 30 сек. Belyaeva, Bulychev, Riznichenko, Rubin 2016, 2019, Phot. Res.

Биофотореакторы

Получение целевых продуктов

Стресс – голодание по сере, по магнию

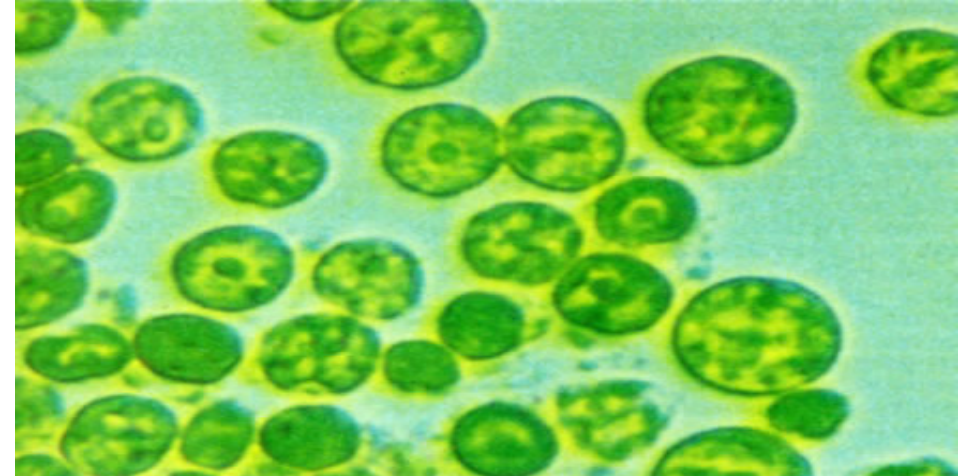
– молекулярный водород

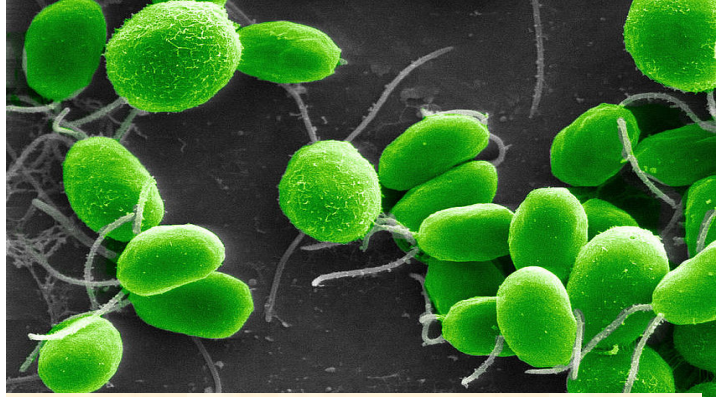
фосфорное голодание – биомасса, обогащенная фосфором

Автоматический контроль за состоянием культуры

Плюснина Т.Ю., Хрущев С.С. – обработка данных

Antal T, Konyukhov I, Volgusheva A, Plyusnina T, Khruschev S, Kukarskikh G, Goryachev S, Rubin A (2018) Chlorophyll fluorescence induction and relaxation system for the continuous monitoring of photosynthetic capacity in photobioreactors. *Physiol Plantarum*, DOI : 10.1111/ppl.12693



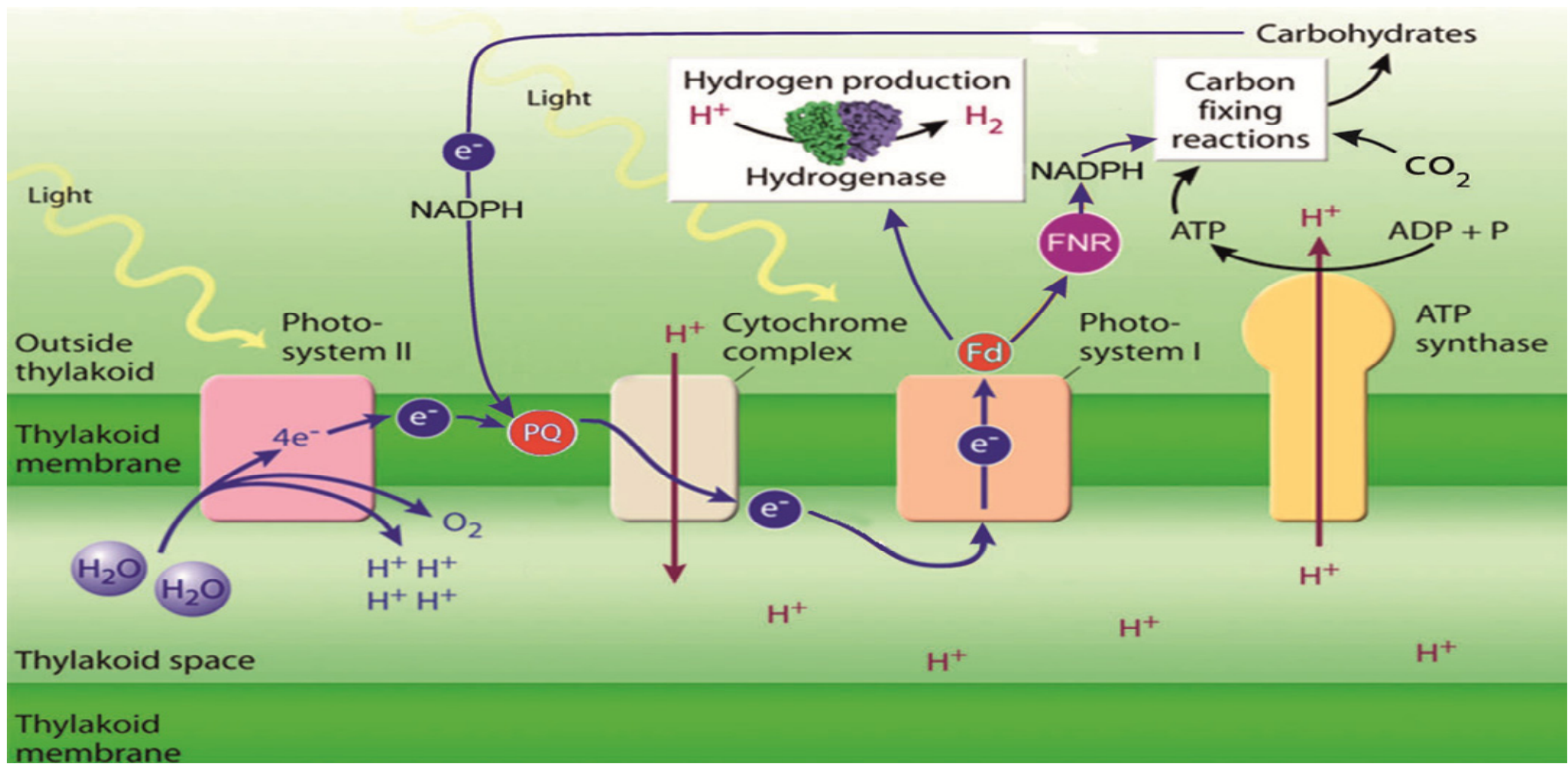


Chlamydomonas reinhardtii cells

Модели фотосинтетического электронного транспорта водород-выделяющих водорослей

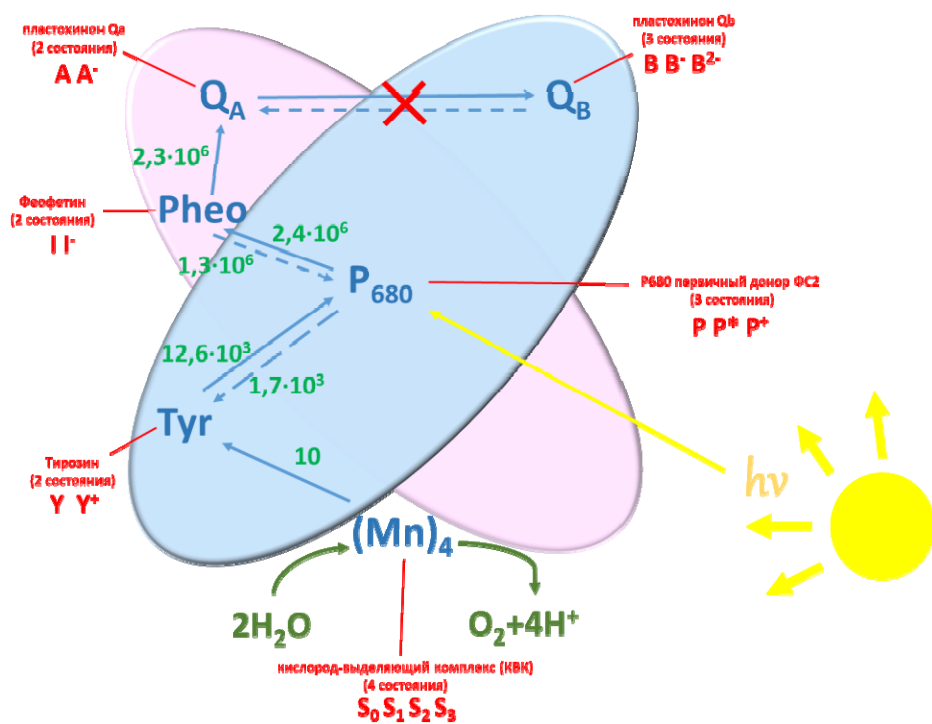
Плюснина и др., 2013; Diakonova et al., 2016;
Riznichenko et al., 2017

Photosynthetic electron transport chain

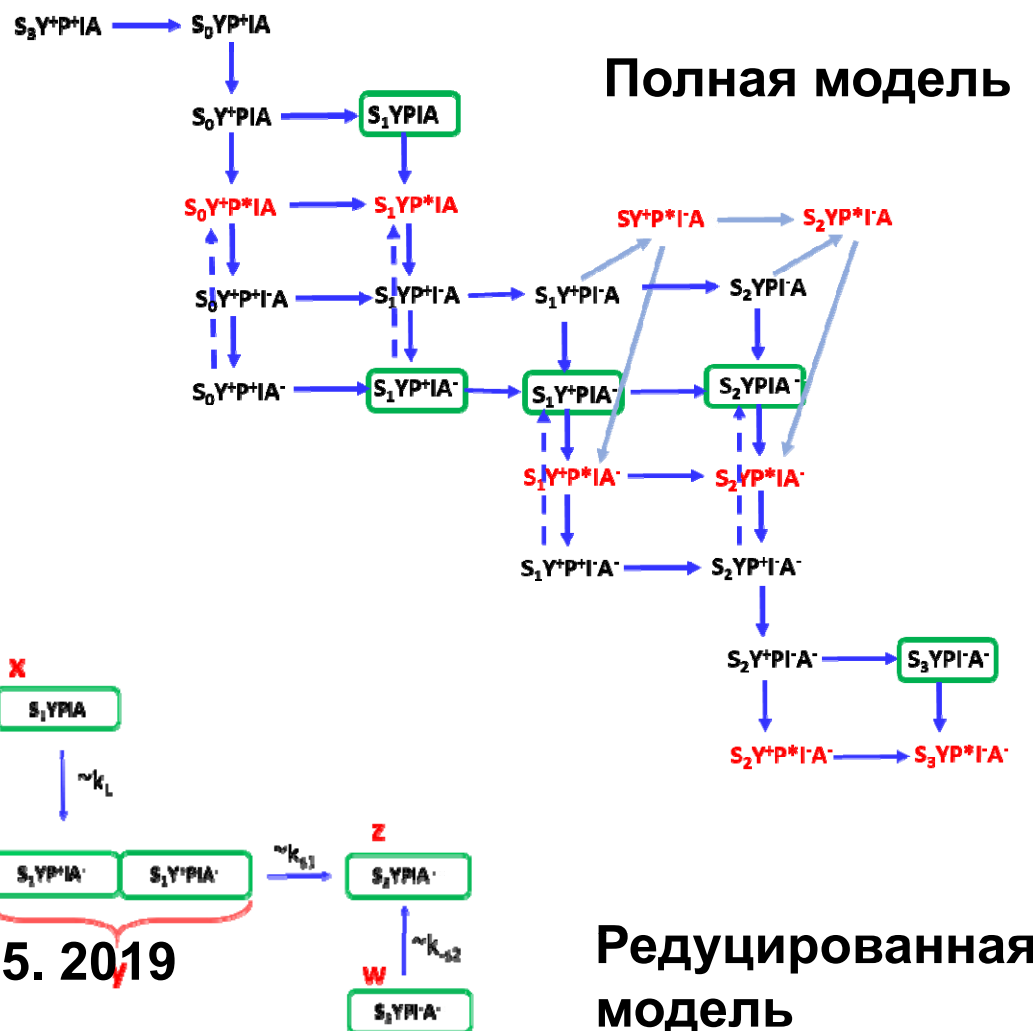


Анализ больших массивов данных

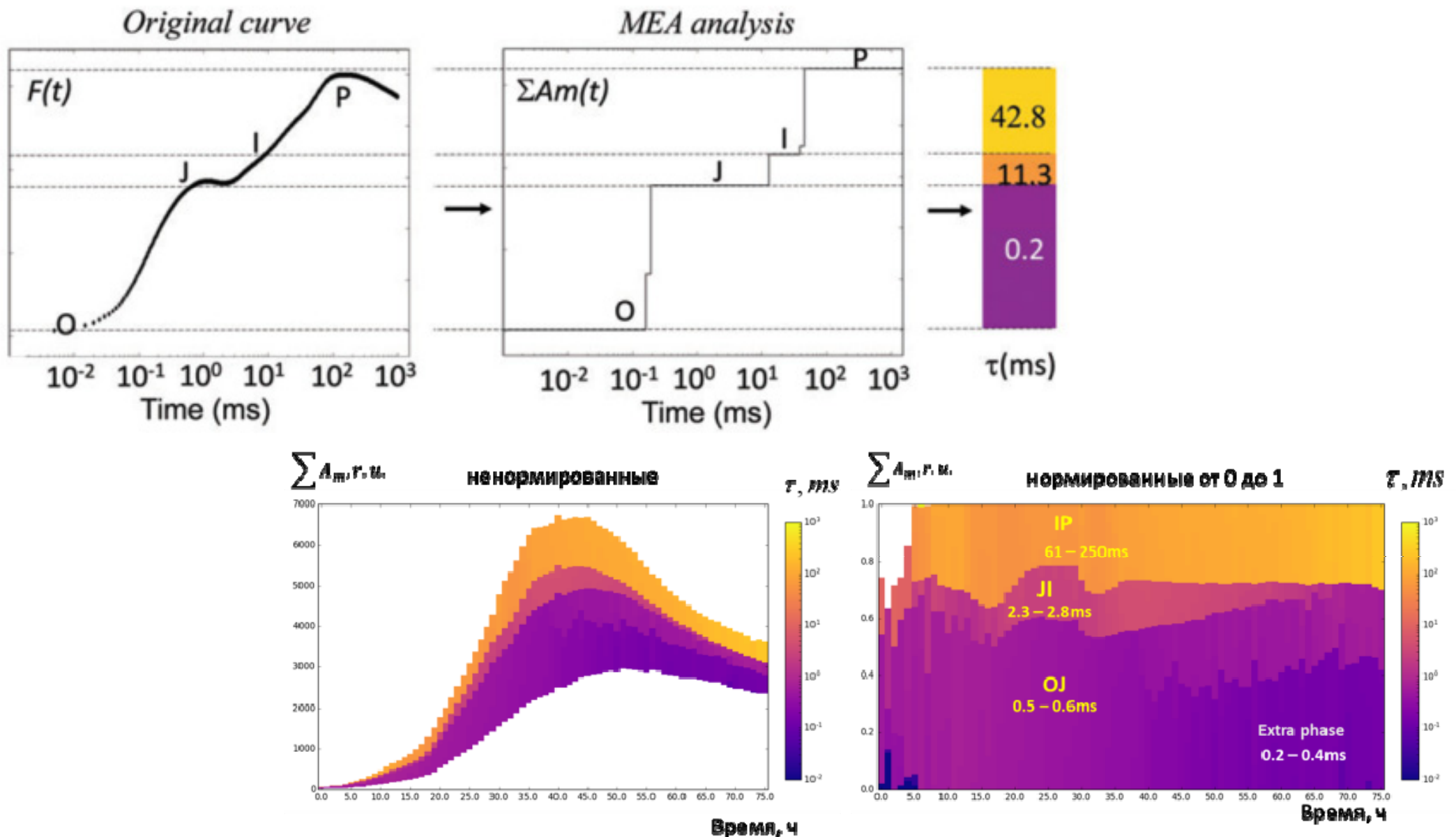
Упрощенные модели.



Плюснина, Хрущев и др., 2013; 2015. 2019



Спектральный мультиэкспоненциальный анализ



В качестве «агентов» могут вступать:

отдельные электрон-транспортные цепи в Монте Карло моделях

Макромолекулы – подвижные переносчики электронов и
мультиферментные комплексы - в броуновских многочастичных
моделях

Отдельные атомы – в моделях молекулярной динамики

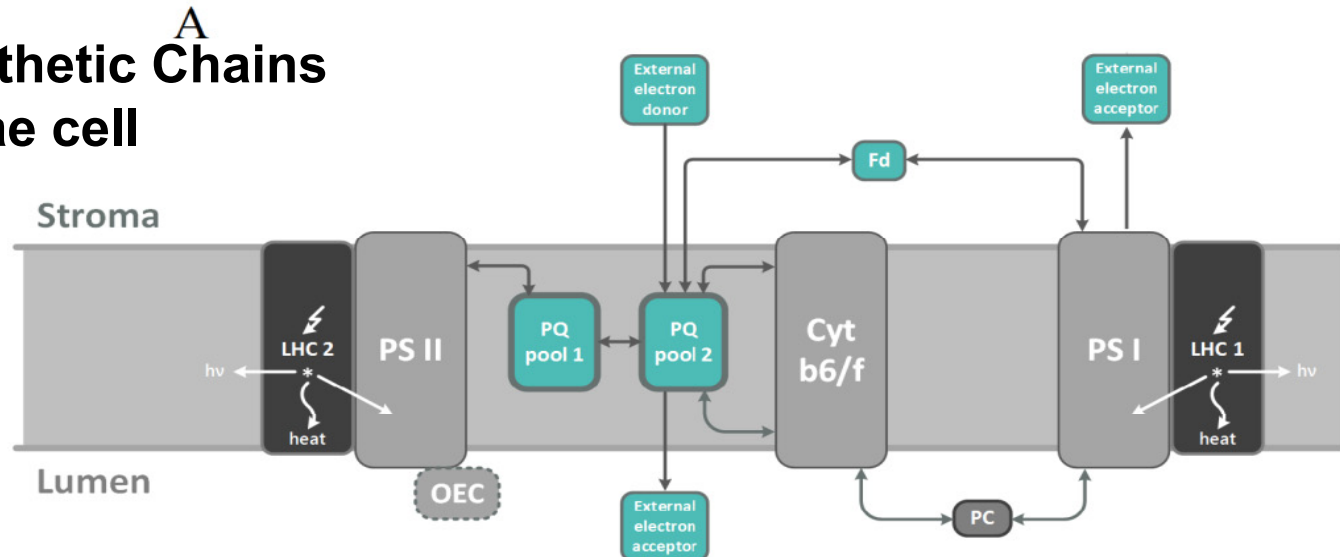
Группы атомов – при крупнозернистом (course-grain)
моделировании

АГЕНТНЫЕ МОДЕЛИ

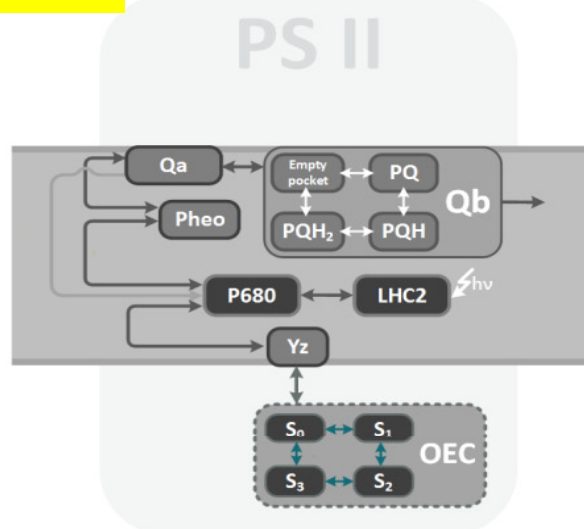
Agent-based kinetic Monte Carlo models

3 millions of Photosynthetic Chains
As in a real micro algae cell

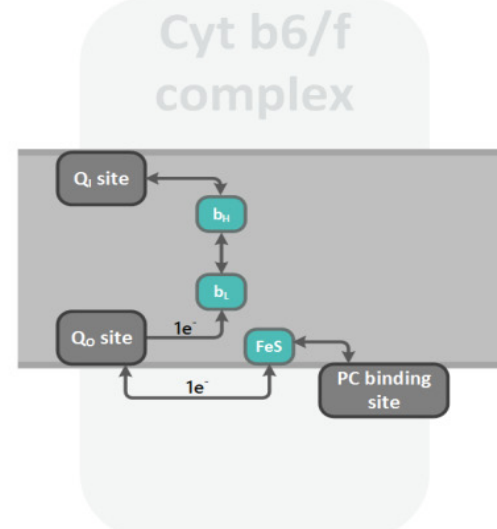
Маслаков и др.,
Биофизика.
2016,
Antal et al.,
Phot. Res. 2019



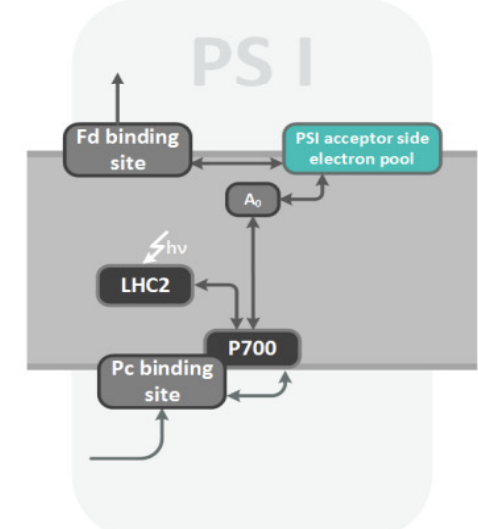
B



C

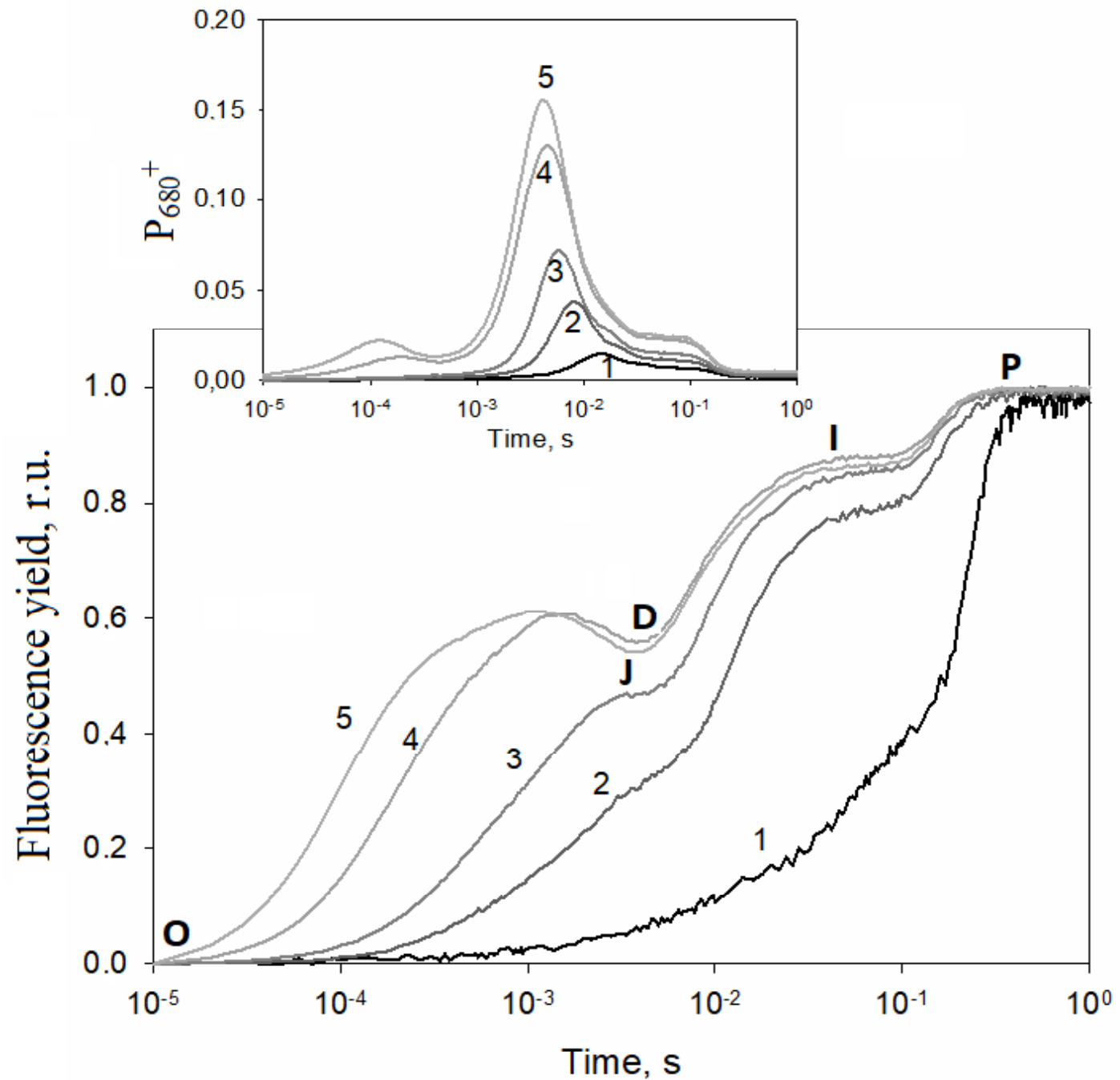


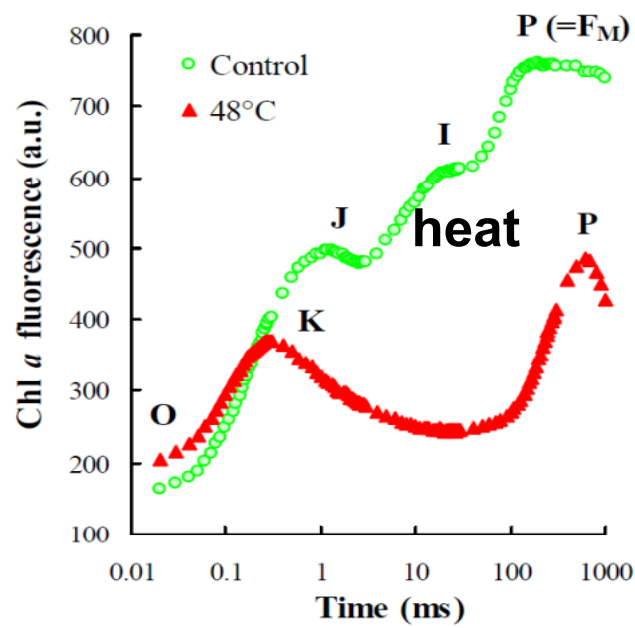
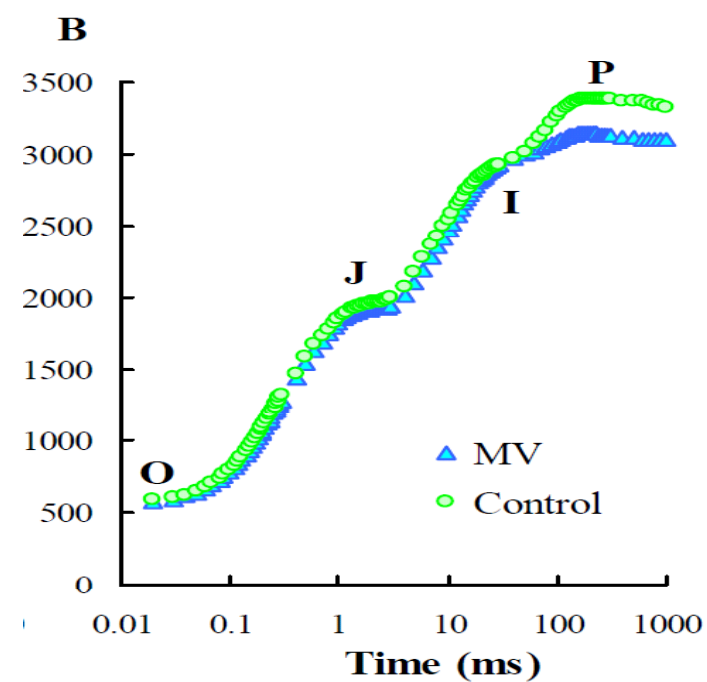
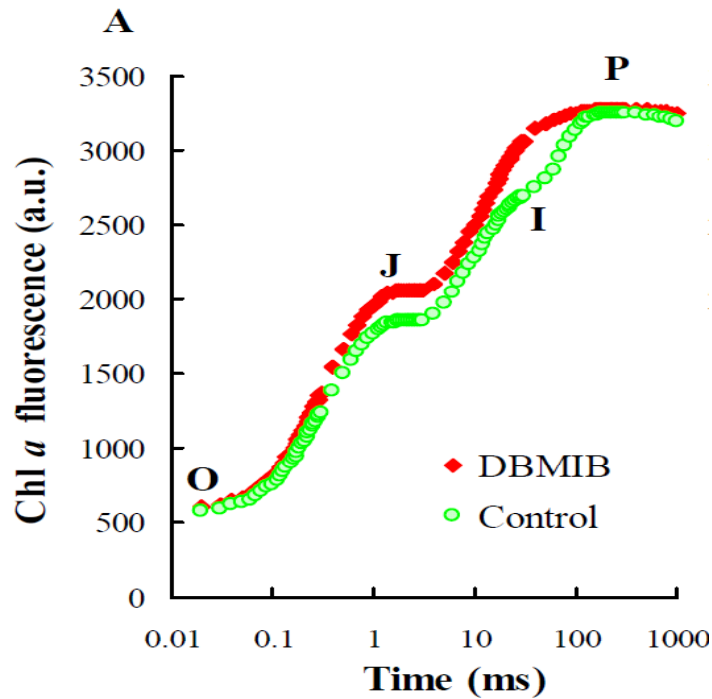
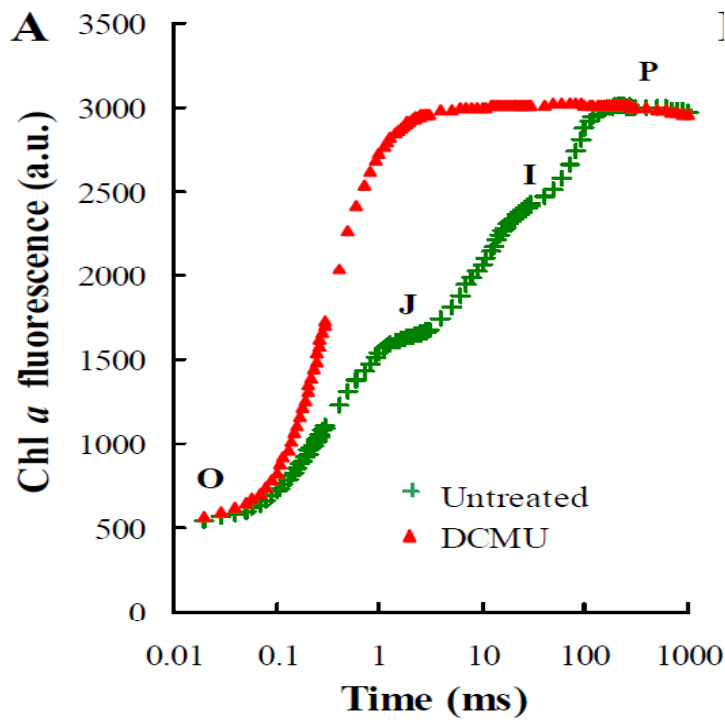
D



Simulated fluorescence transients under different intensity of actinic light: 120, 1000, 2000, 6000, and 12000 mmol photons m⁻² s⁻¹ (curves 1, 2, 3, 4 and 5, respectively).

Inset shows the corresponding light-induced redox transitions of P₆₈₀

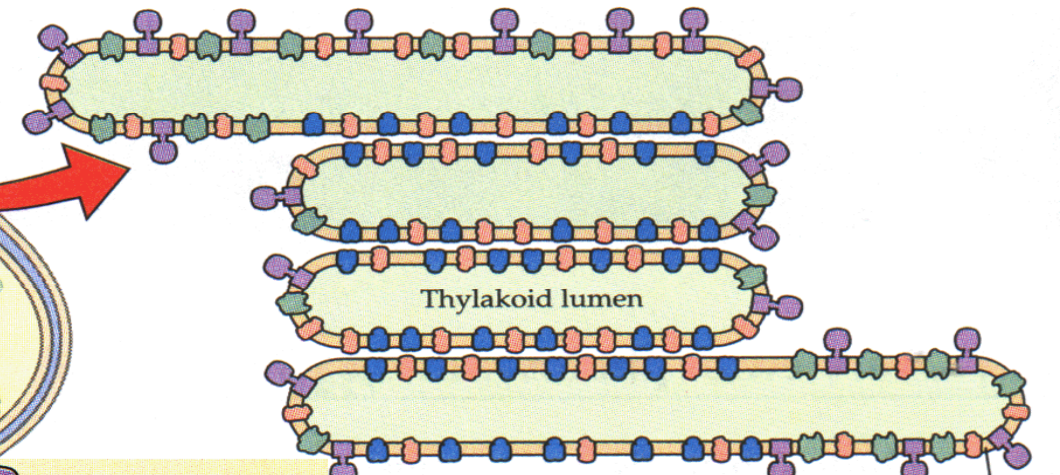
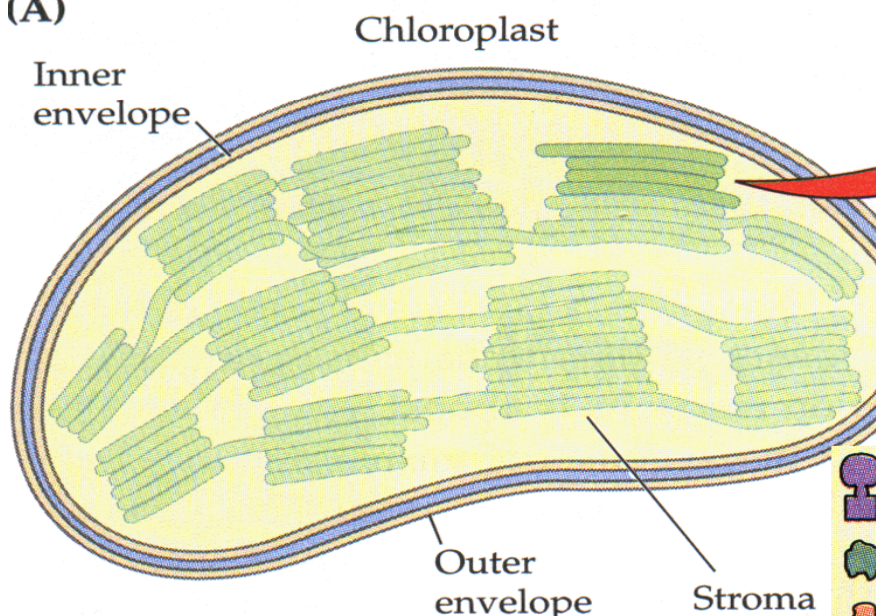




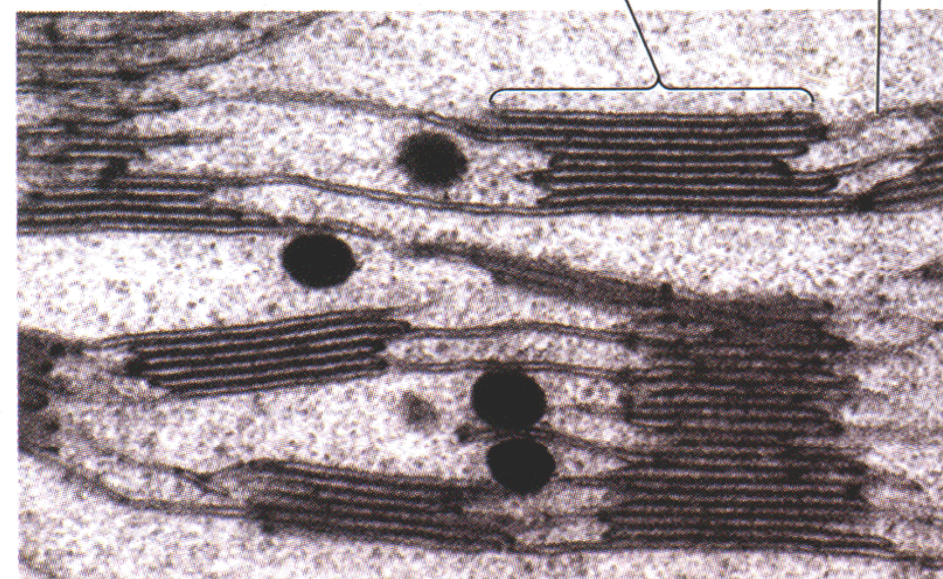
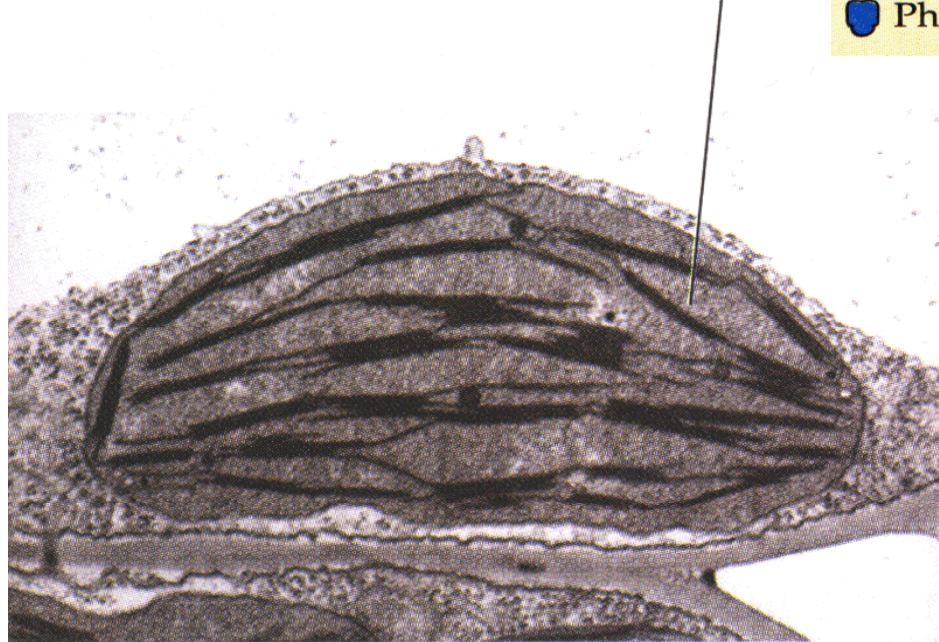
Simulation of inhibitor actions

Chloroplast. Space heterogeneity

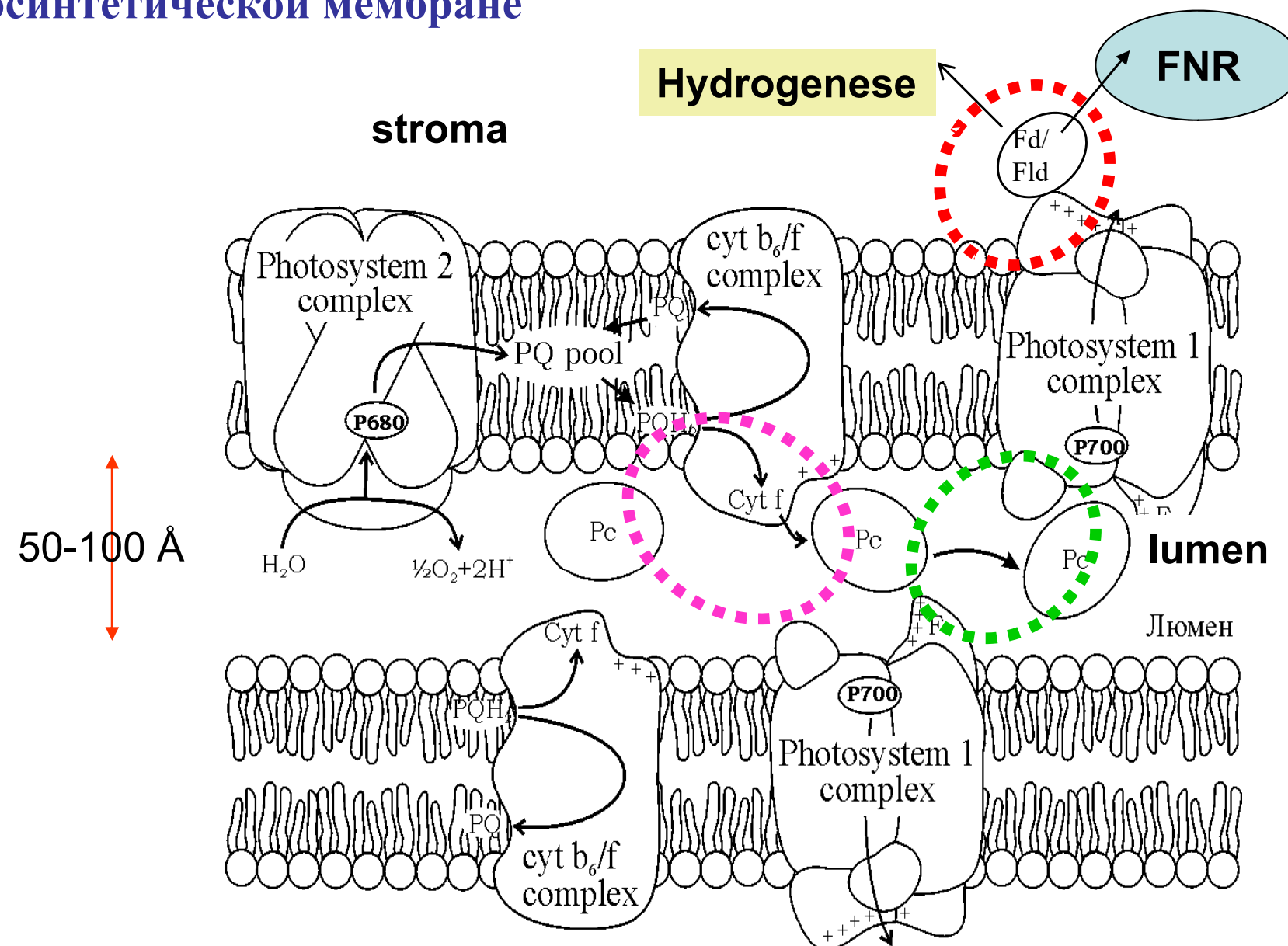
(A)



(B)



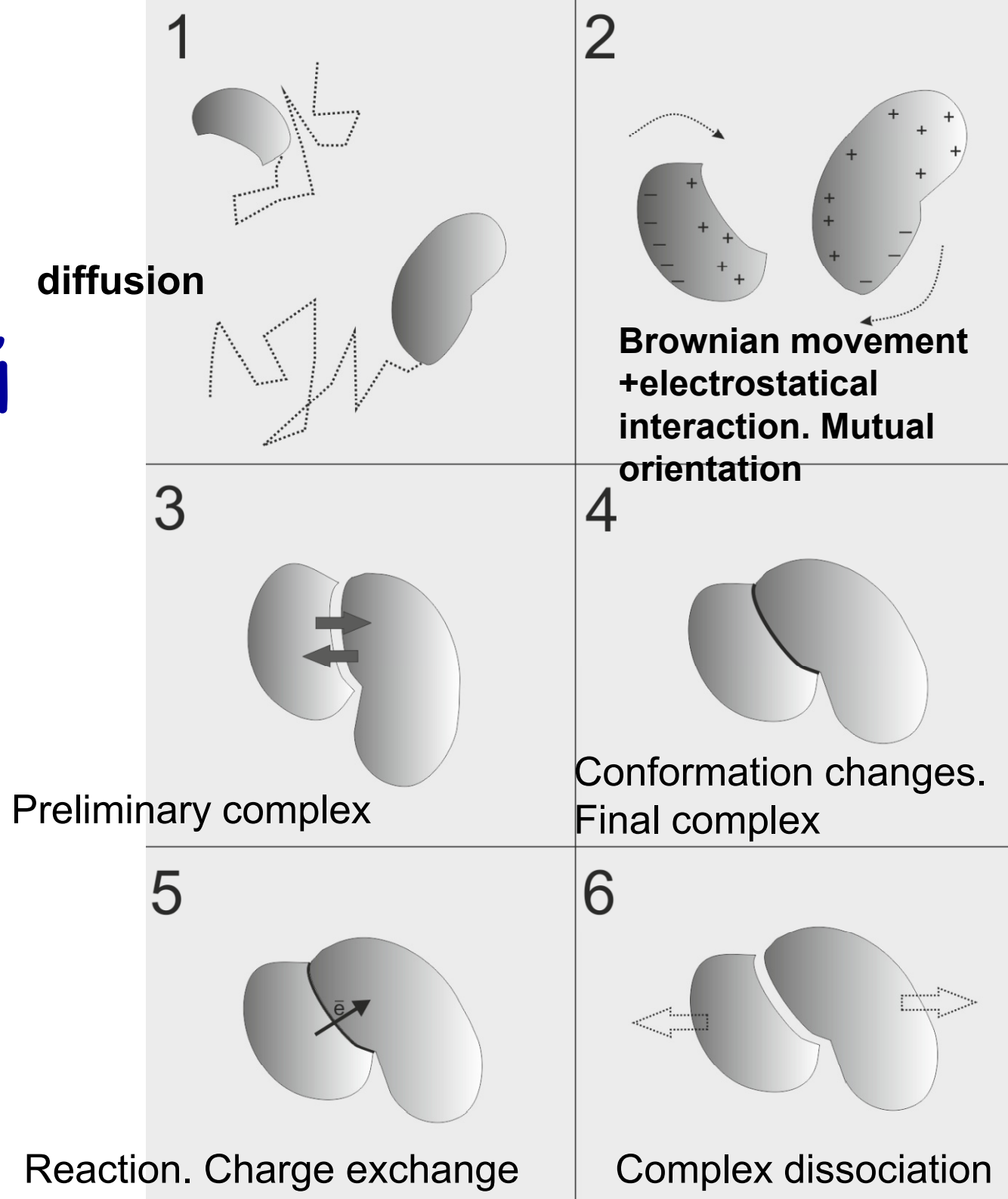
Мультиферментные комплексы и подвижные переносчики в фотосинтетической мембране



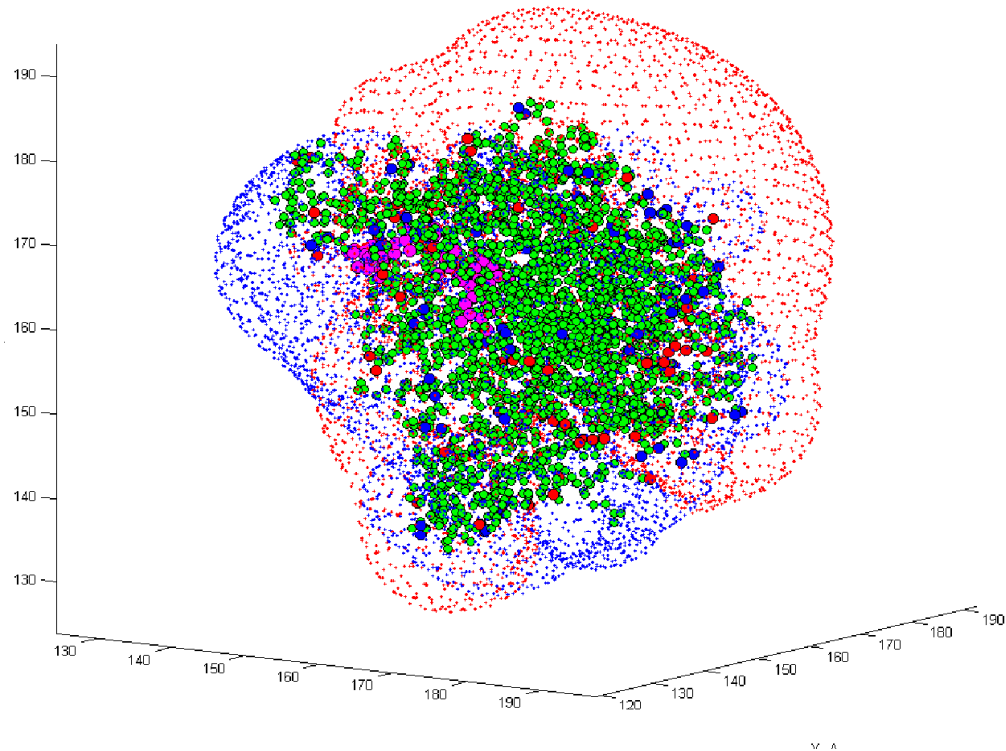
Фрагмент фотосинтетической мембранны

Белок-белковые взаимодействия

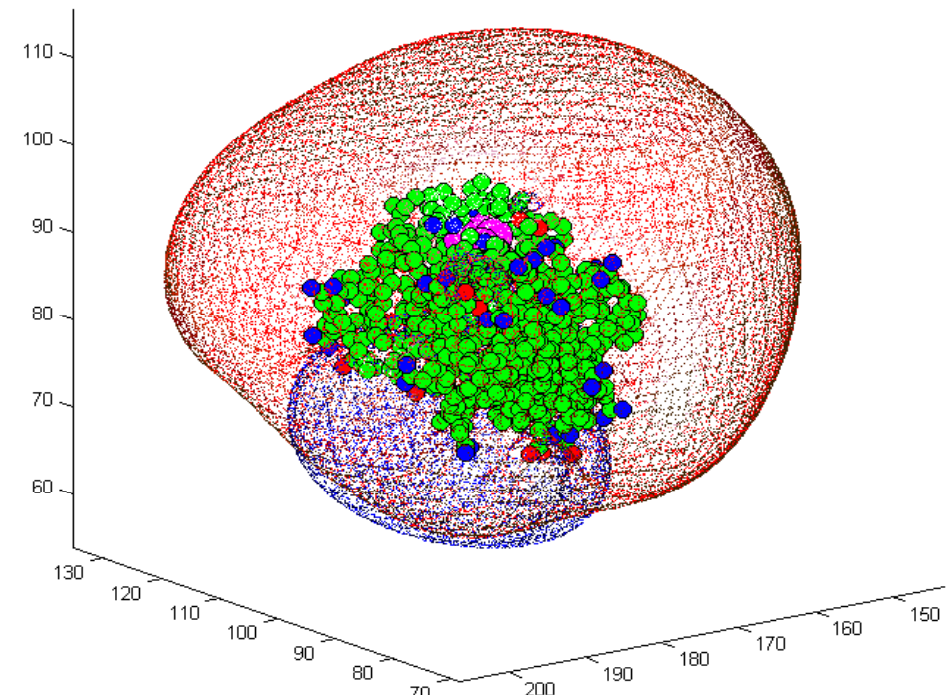
Kovalenko et al., 2006 -2015,
2017, 2019
Хрущев и др., 2014, 2015
Abaturova et al., 2009;
Dyakonova et al., 2009, 2016
Князева и др., 2011,
Riznichenko et al., 2009,
2010, 2011, 2017, 2022



Equipotential surfaces of FNR (PDB: 1QUE) and reduced Fd (PDB: 1FRD) from Anabaena 7120



FNR

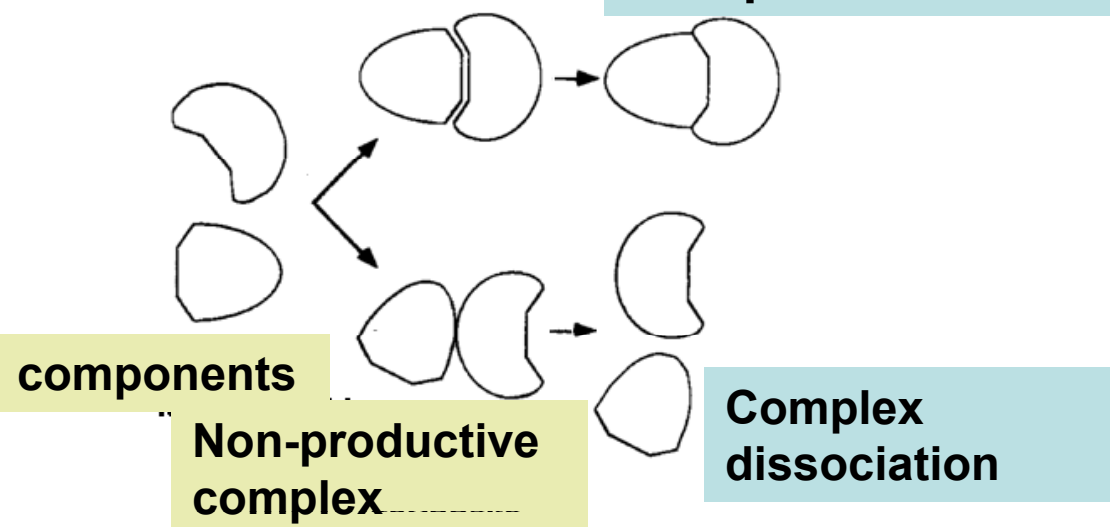


Ferredoxin

Ion strength - 100 mM, pH=7, ϵ (sol)80; ϵ (prot) =2; red -6.5 mV, blue + 6.5 mV; green – non-charged atoms; red– negatively charged atoms; blue – positively charged atoms, pink – FAD in FNR and [2Fe-2S] cluster in Fd

Preliminary complex

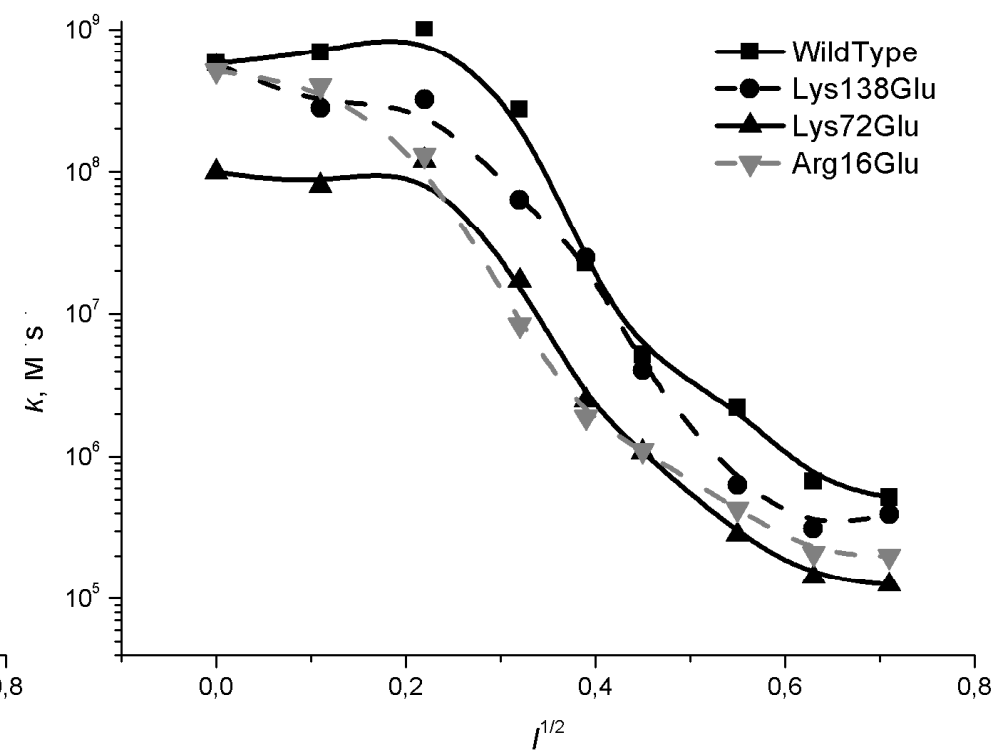
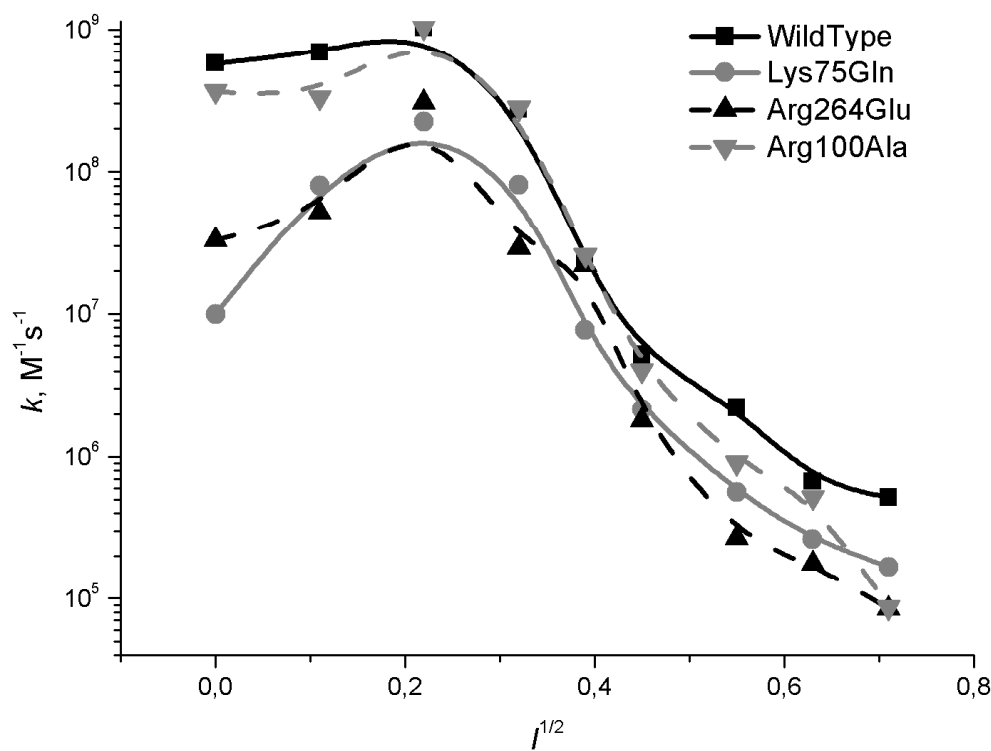
Final Complex → reaction



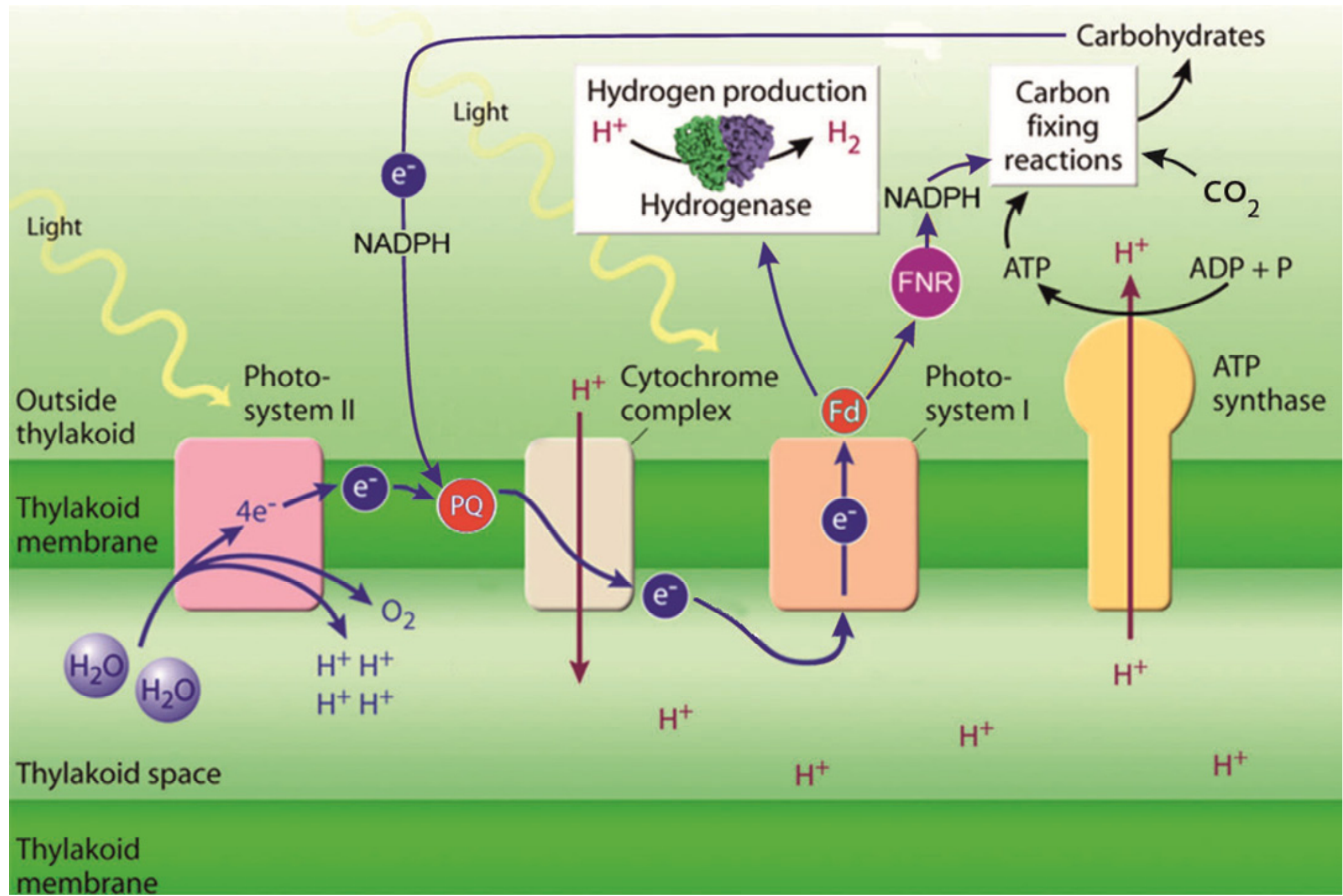
Kovalenko, Djakonova, et al., 2011

Non-monotonous dependence of the Rate constant of complex interaction on the ion strength

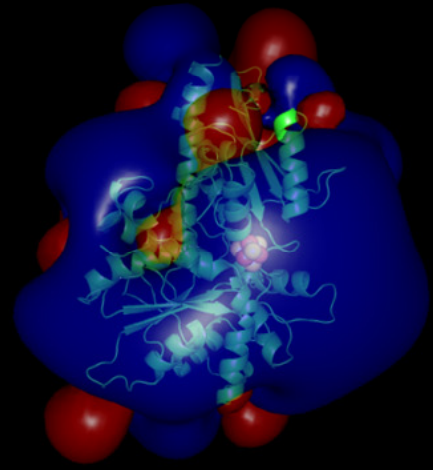
Fd-FNR interaction



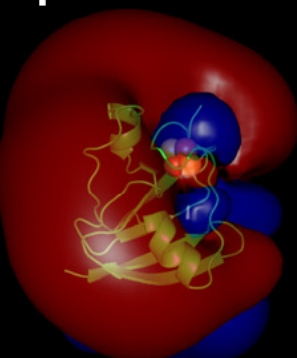
Пути переноса электрона в условиях стресса¹



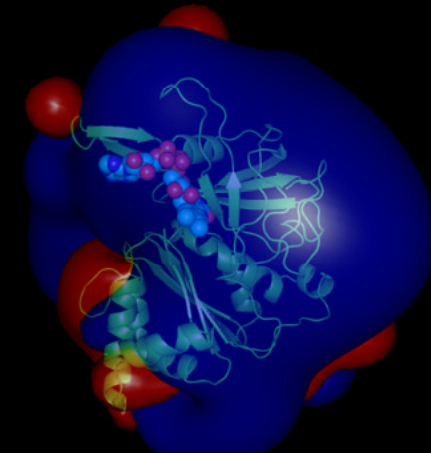
Hydrogenase



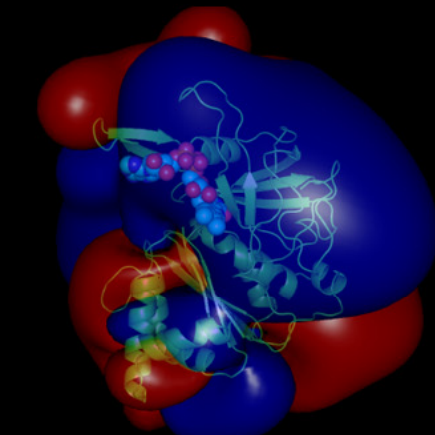
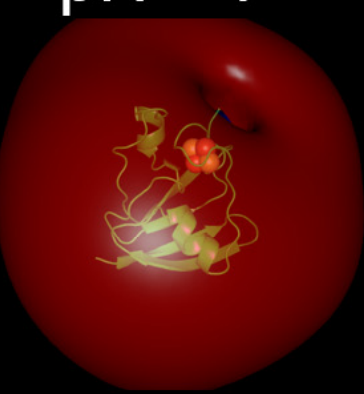
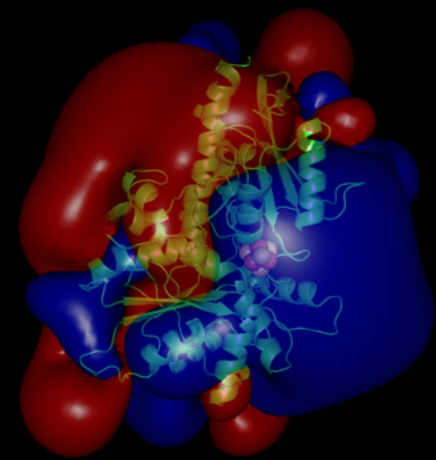
Ferredoxin
pH = 5



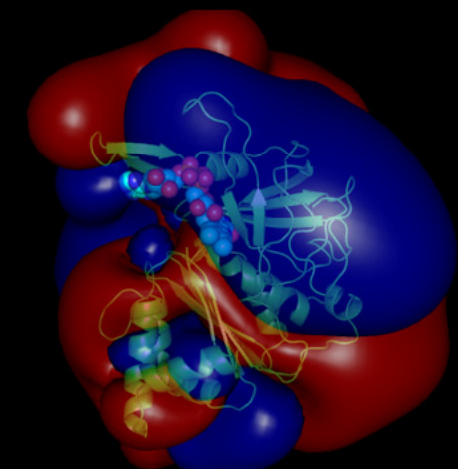
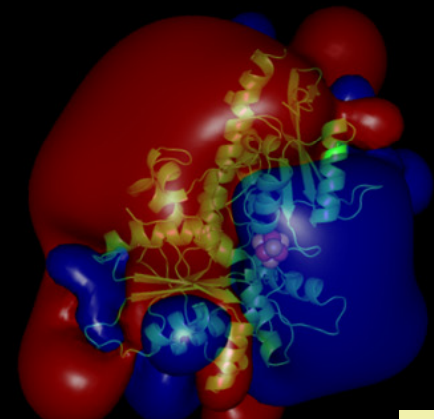
FNR



pH = 7

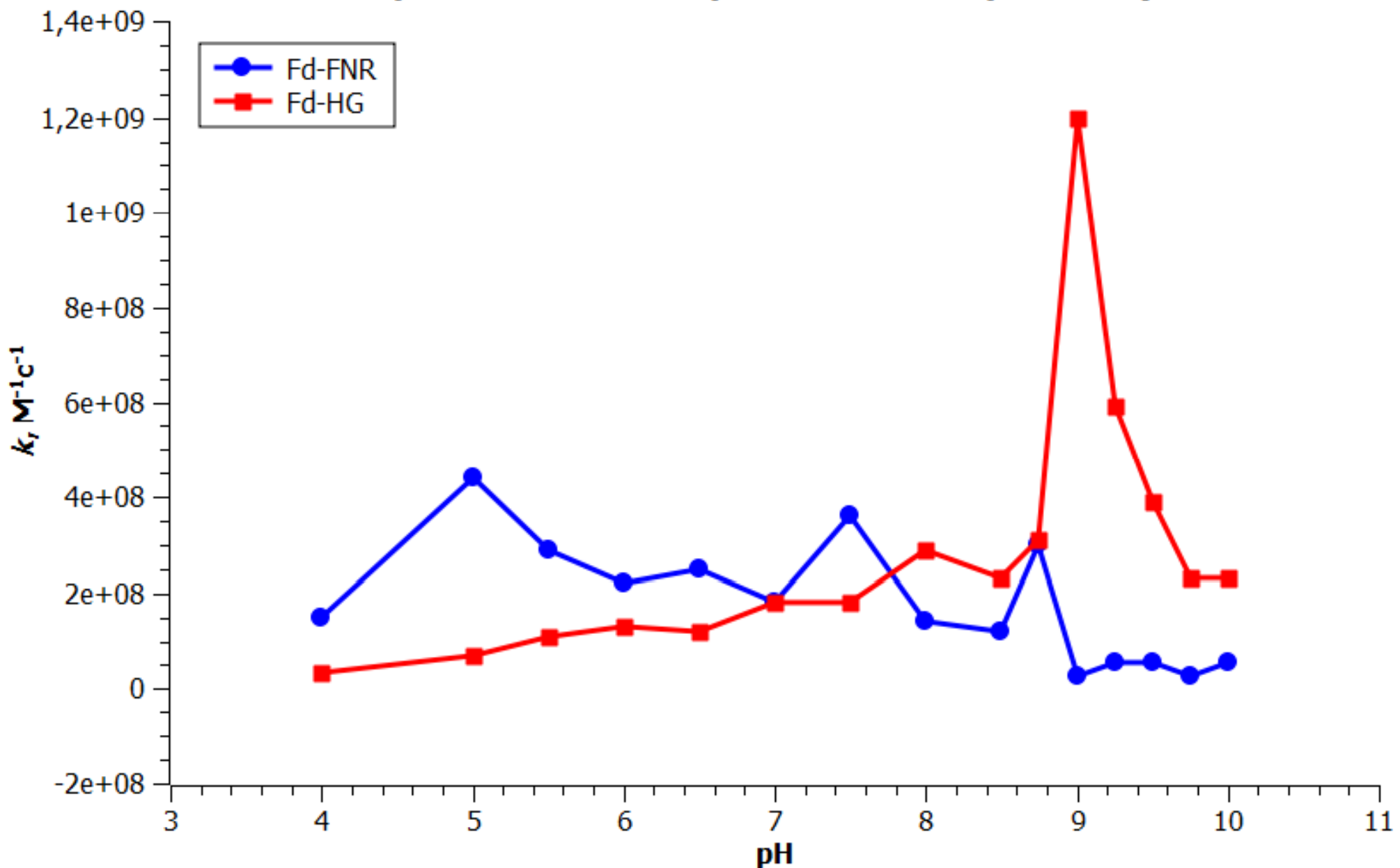


pH = 9

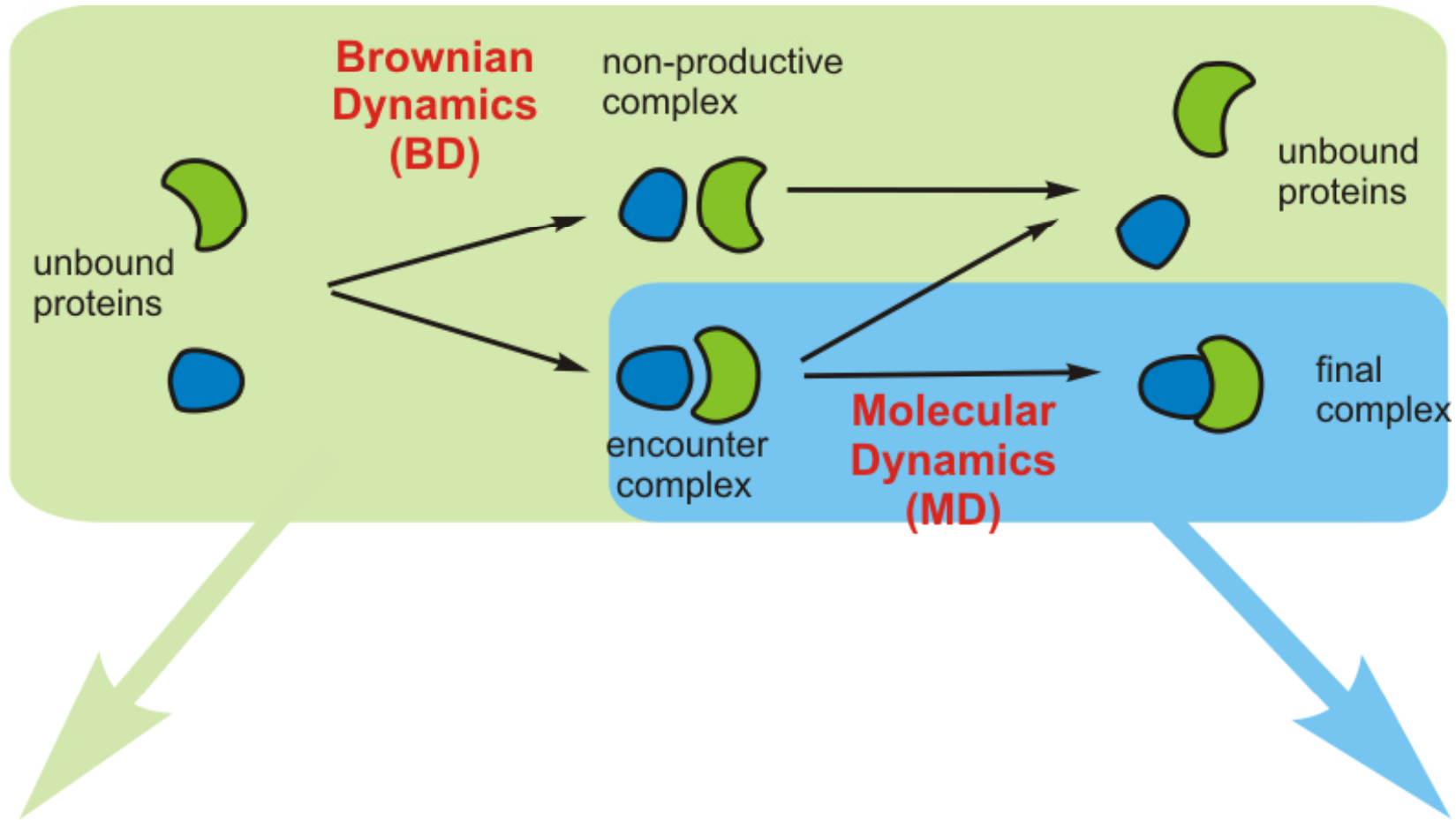


Дьяконова и др. в печати

Dependence of the rate constant of Fd-FNR and Fd-HG complex formation on pH in the three-protein system



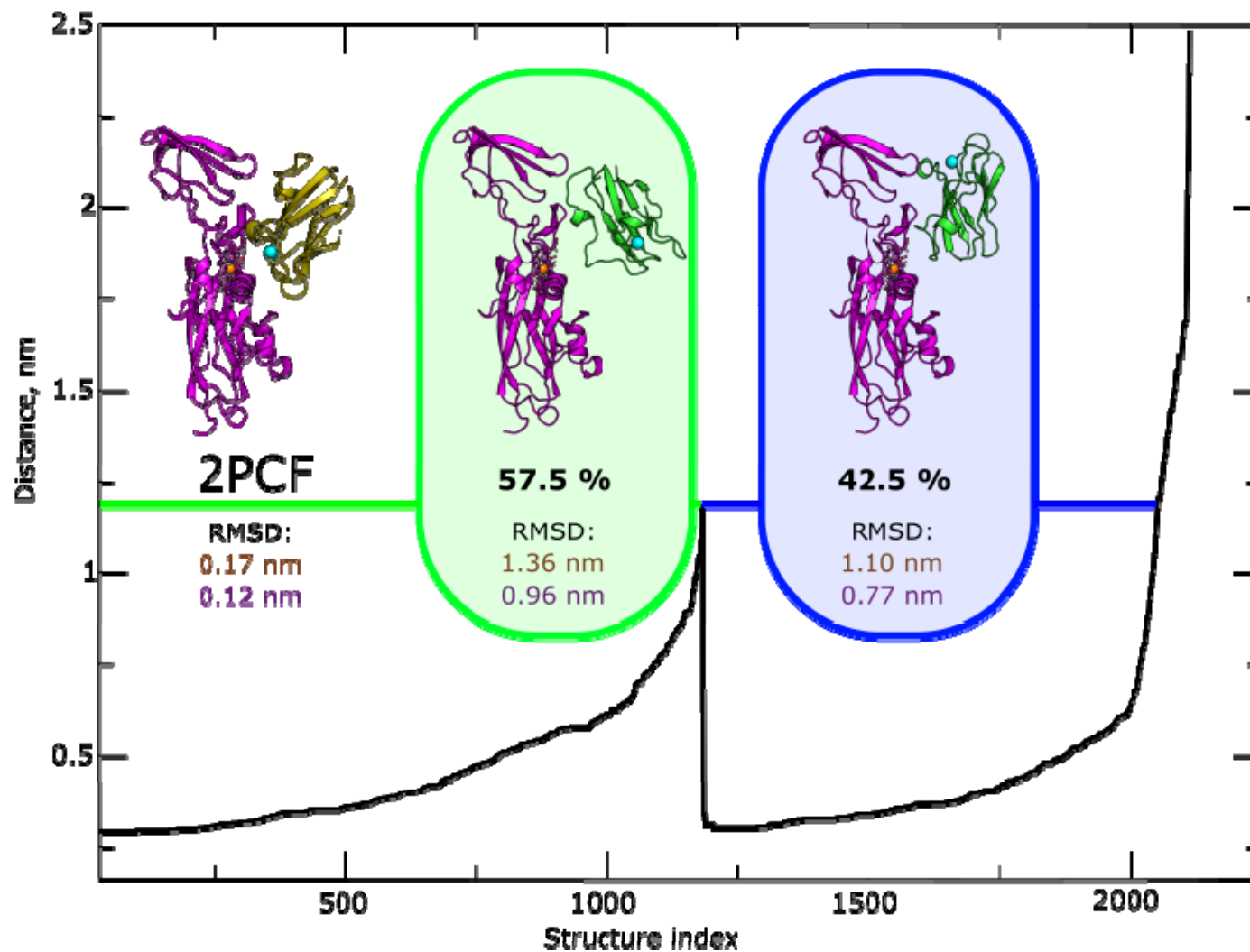
Protein-protein complex formation



**Encounter complex
simulation by
Brownian Dynamics**

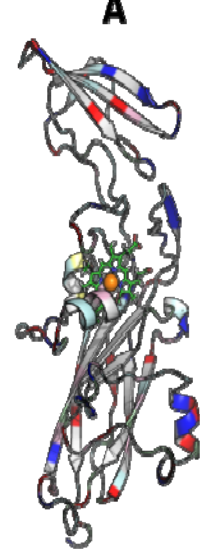
**Final complex simulation by
Molecular Dynamics**

Продуктивный и непродуктивный комплексы

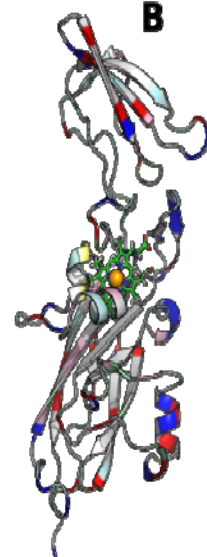


cytochrome f

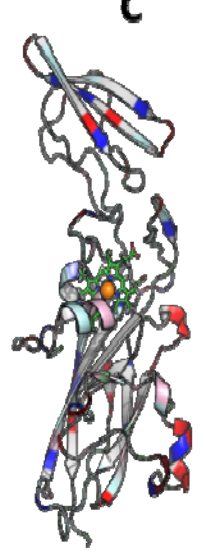
A



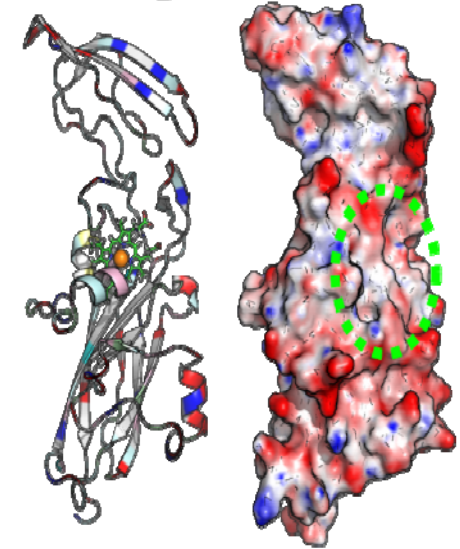
B



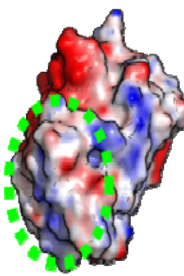
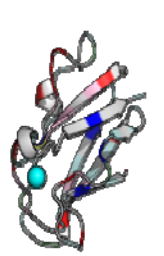
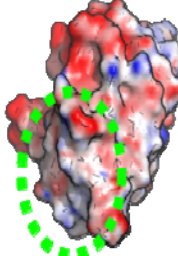
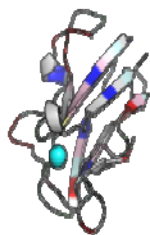
C



D



plastocyanin



Spinacia oleracea

Brassica rapa

Total charge:

plastocyanin: -8 e.c.

cytochrome f: -4 e.c.

*Chlamydomonas
reinhardtii*

Total charge:

plastocyanin: -6 e.c.

cytochrome f: -2 e.c.

*Phormidium
laminosum*

Total charge:

plastocyanin: -3 e.c.

cytochrome f: -16 e.c.

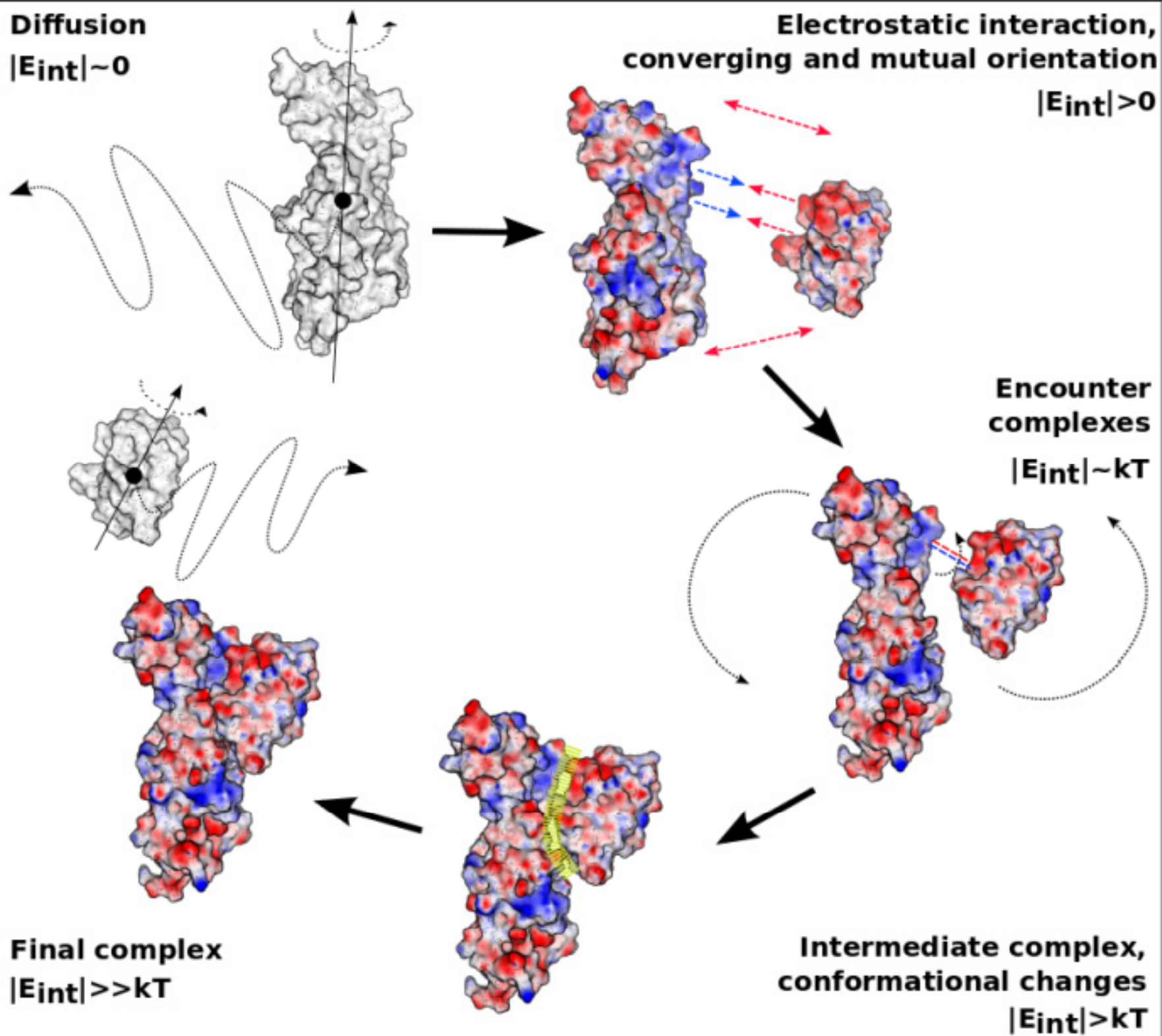
Nostoc sp.

Total charge:

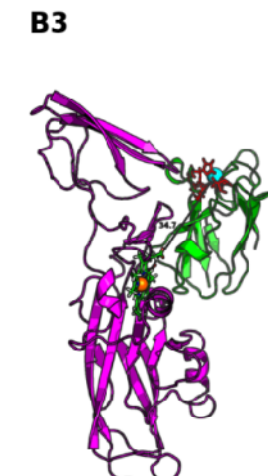
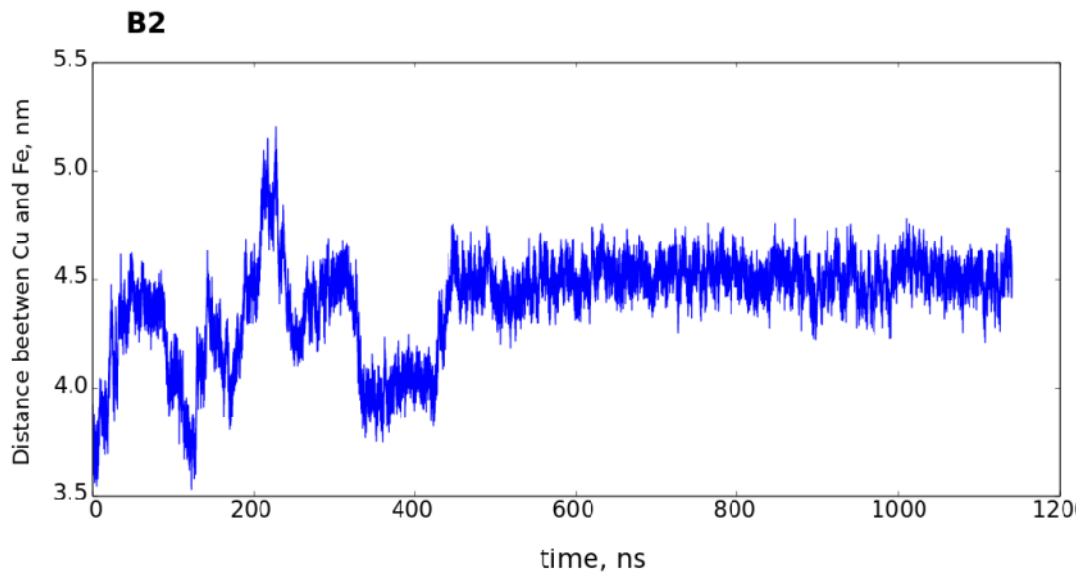
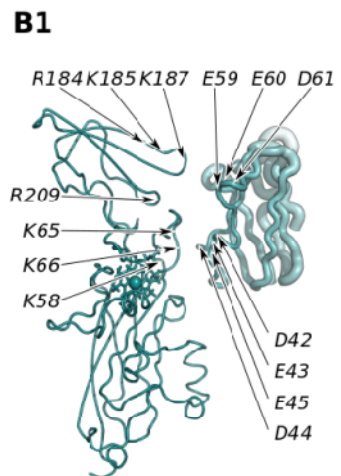
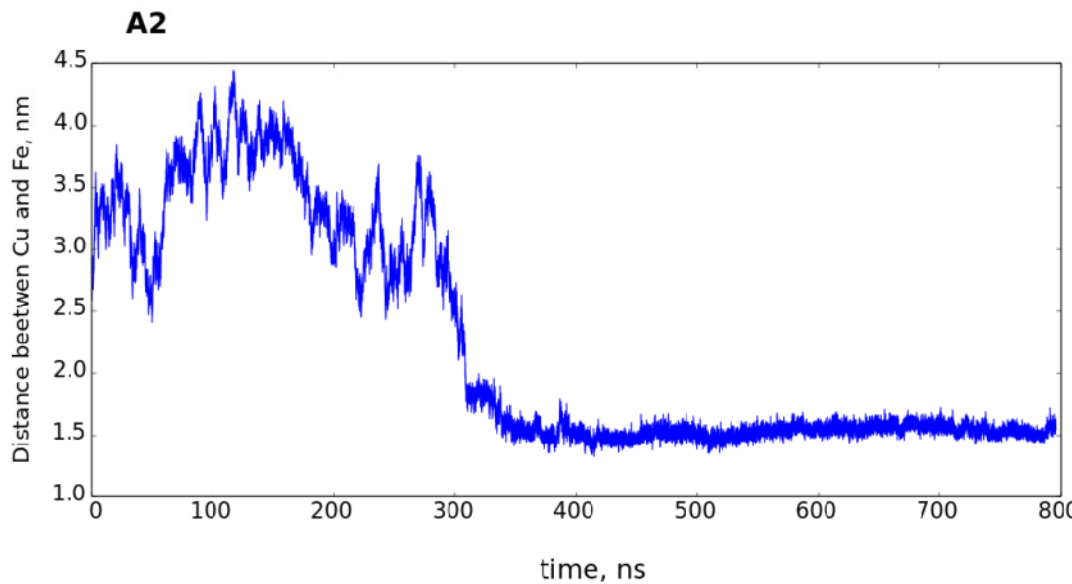
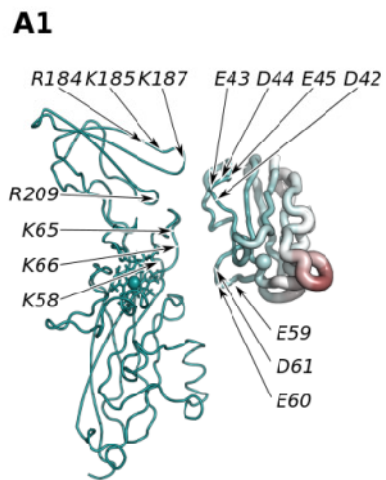
plastocyanin: +1 e.c.

cytochrome f: -18 e.c.

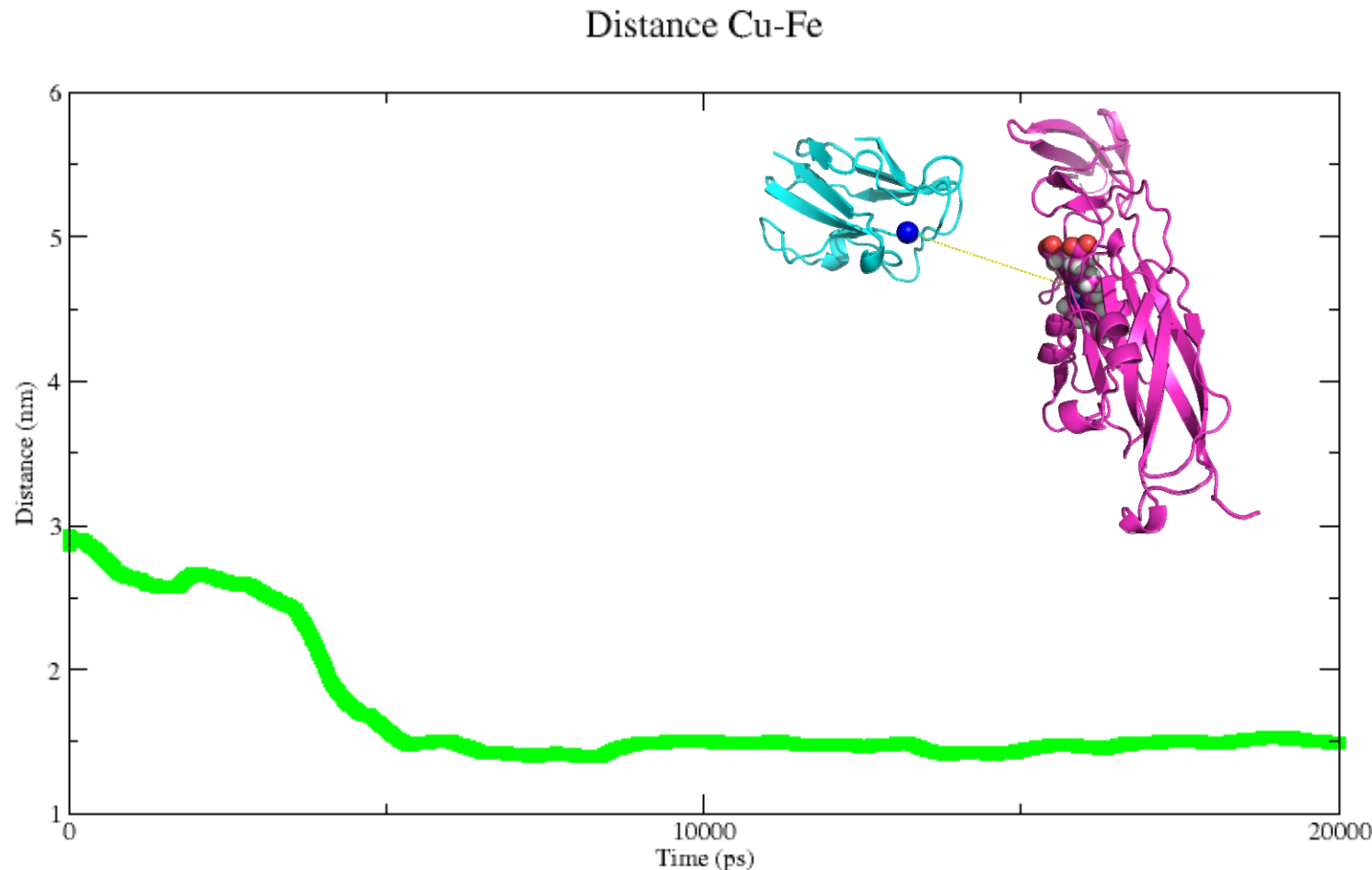




Molecular dynamics of productive and non-productive encounter complex



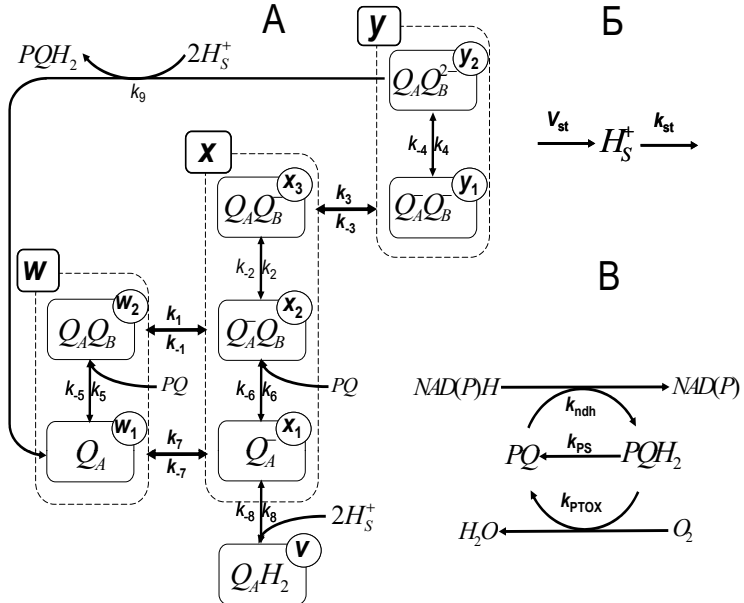
Образование комплекса пластоцианина и цитохрома f



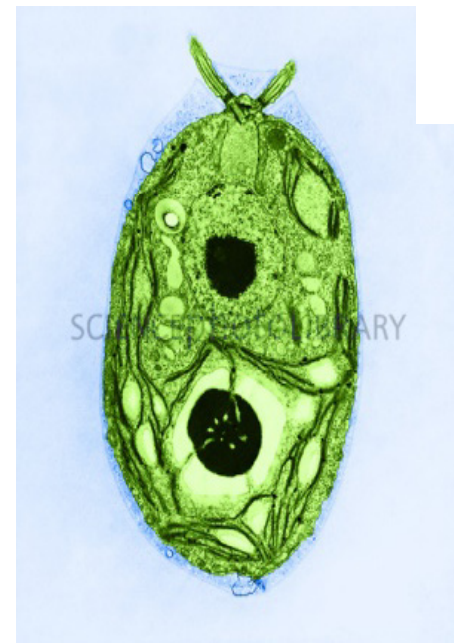
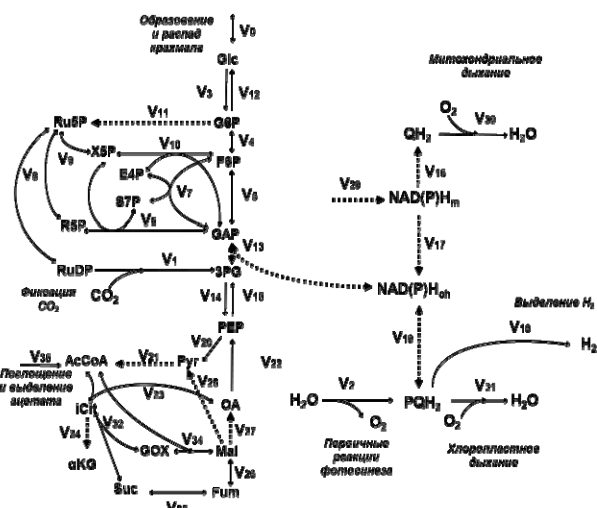
Distance (nm) between Cu on plastocyanin and Fe on cytochrome f vs time (ps)



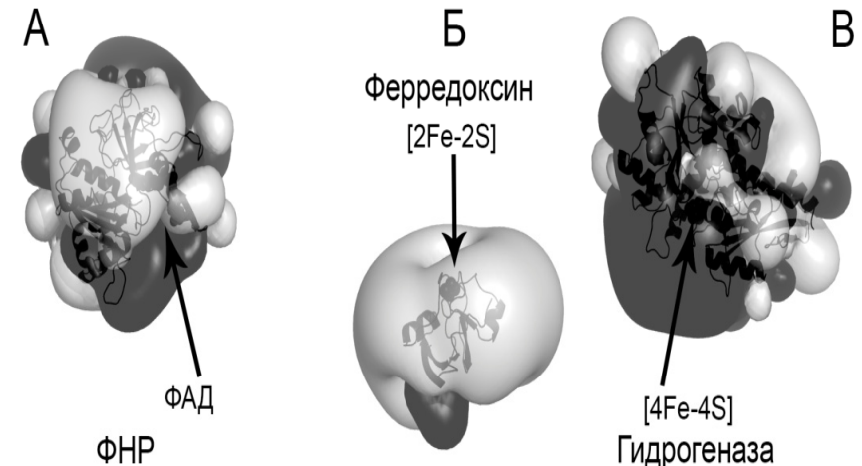
Middle-out modeling strategy



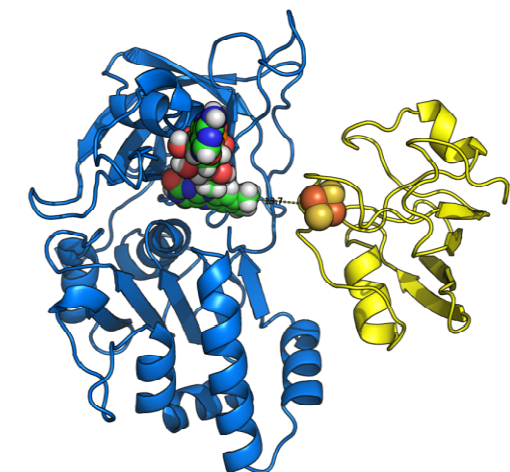
Плюснина и др., 2013, 2019

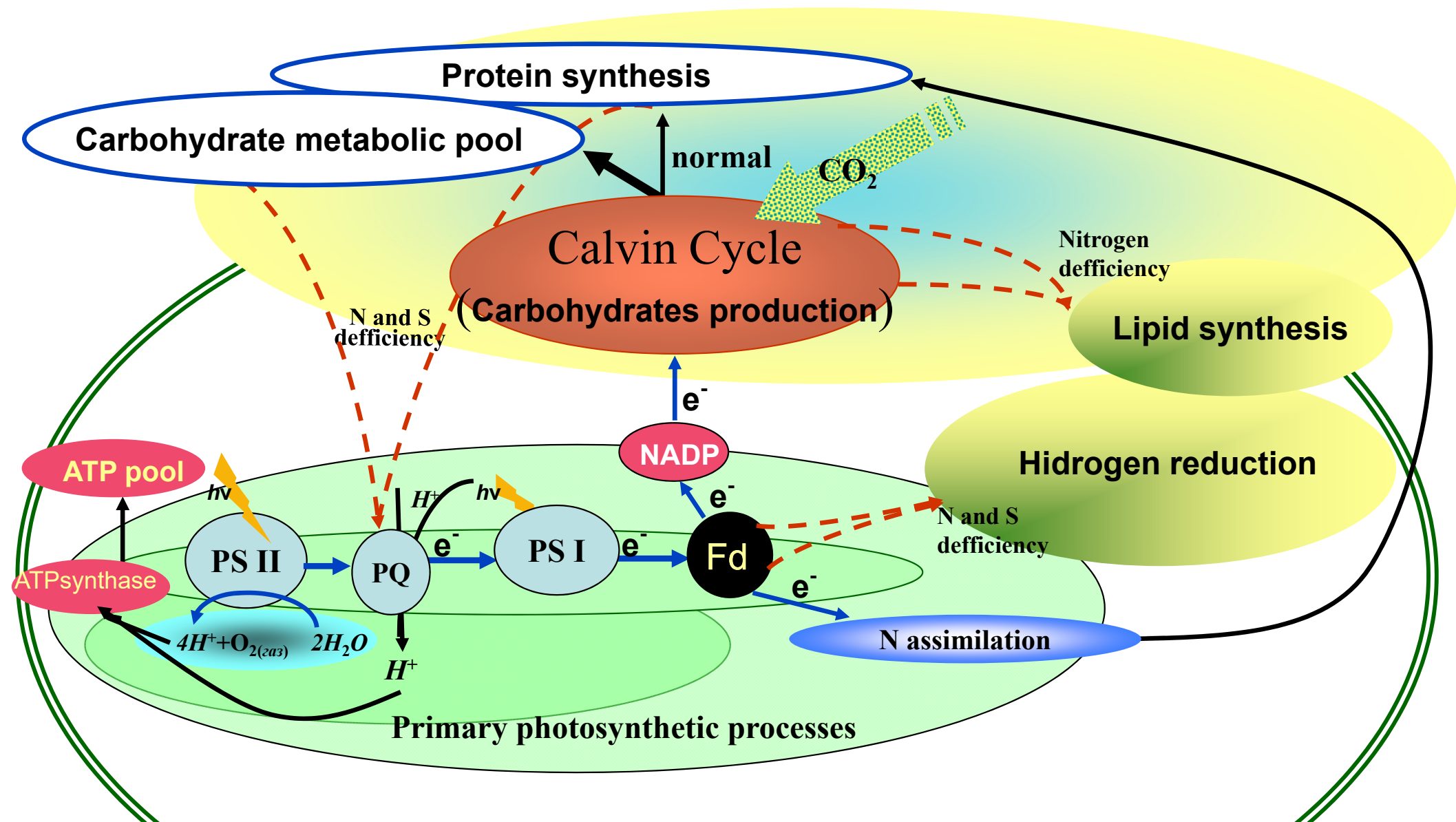


Метаболические пути Плюснина и др., Биофизика, 2017



Dyakonova et al., 2016





Фотосинтез и сопряженные процессы

Biological and Medical Physics, Biomedical Engineering

Andrew Rubin
Galina Riznichenko

Mathematical Biophysics

Springer 2014

 Springer

БИОФИЗИКА
МАТЕМАТИЧЕСКАЯ БИОЛОГИЯ
R&C 2011

Г. Ю. Ризнichenko

ЛЕКЦИИ

по математическим моделям в биологии

R&C
Dynamics



спасибо за внимание

Участники работы

- Н.Е. Беляева
- И.Б. Коваленко
- Т.Ю. Плюснина
- А.М. Абатурова
- А.Н. Дьяконова
- С.С. Хрущев
- А.М. Маслаков
- В. А. Федоров
- Проф. А.Б. Рубин



МАТЕМАТИКА. КОМПЬЮТЕР. ОБРАЗОВАНИЕ – 30

Пущино 23-28 янв- 2023 www.mce.su

Ежегодные зимние междисциплинарные научно-образовательные конференции

Дубна: 1994; 1996; 1998; 2000; 2002; 2004, 2006, 2008, 2010, 2012, 2014,
2016, 2018, 2020, 2022

Пущино: 1995; 1997; 1999; 2001; 2003; 2005; 2007, 2009, 2011, 2013, 2015,
2017, 2019, 2021, 2023

с 2008

Биофизика сложных систем

Молекулярное моделирование. Системная и
вычислительная биология.



MaCoEd